



Zentrum für Technomathematik

Parametrische Sensitivitätsanalyse

Bachelorarbeit

vorgelegt von

Renke Schäfer

1. Gutachter: Prof. Dr. Christof Büskens, Universität Bremen
2. Gutachter: Dr. Matthias Knauer, Universität Bremen

27. August 2012

Inhaltsverzeichnis

Abbildungsverzeichnis	v
Tabellenverzeichnis	vii
1 Einführung	1
2 Theorie der nichtlinearen Optimierung	3
2.1 Aufgabenstellung der nichtlinearen Optimierung	3
2.2 Notwendige und hinreichende Optimalitätsbedingungen	5
2.3 Aufgabenstellung der gestörten nichtlinearen Optimierung	7
2.4 Parametrische Sensitivitätsanalyse	8
2.4.1 Sensitivitäten der optimalen Lösung	9
2.4.2 Sensitivitäten von Zugehörigkeitsfunktionen	11
2.4.3 Lineare Störungen in Zielfunktion und Nebenbedingungen . .	13
2.4.4 Echtzeitapproximation	15
3 Der NLP-Solver WORHP mit WORHP ZEN	17
3.1 Überblick über die Grundlagen von WORHP	17
3.1.1 Von WORHP verwendete Standardform	18
3.1.2 Sequentielle quadratische Programmierung	18
3.1.3 Speicherformat für dünn besetzte Matrizen	19
3.1.4 Benutzerschnittstellen von WORHP	20
3.2 Das WORHP ZEN Modul	20
3.2.1 Berechnungen von WORHP ZEN	21
3.2.2 Benutzerschnittstelle von WORHP ZEN	22

4	Numerische Ergebnisse	25
4.1	Minimierung der Funktion von Rosenbrock	25
4.1.1	Problembeschreibung	26
4.1.2	Auswertung	27
4.2	Lösung eines Optimalsteuerungsproblems	30
4.2.1	Problembeschreibung	30
4.2.2	Auswertung	31
5	Zusammenfassung und Ausblick	37
A	Ausgewählte Variablen und Parameter von WORHP	39
B	Variablen und Parameter von WORHP ZEN	43
C	Quelltexte	47
C.1	Minimierung der Funktion von Rosenbrock	47
C.2	Lösung eines Optimalsteuerungsproblems	52
	Literaturverzeichnis	62

Abbildungsverzeichnis

4.1	3D-Plot und Höhenlinien der Funktion von Rosenbrock	26
4.2	Splineproblem: Optimale Lösung	32
4.3	Splineproblem unter Einfluss von Störung 1	32
4.4	Approximationsfehler beim Splineproblem unter Störung 1	32
4.5	Splineproblem unter Einfluss von Störung 2	33
4.6	Approximationsfehler beim Splineproblem unter Störung 2	33
4.7	Zeitmessung beim Splineproblem	35

Tabellenverzeichnis

3.1	WORHP ZEN Sensitivitätsableitungsmatrizen und ihre Parameter . . .	22
3.2	WORHP ZEN UserAction Zusammenhänge	23
4.1	Minimierung der Funktion von Rosenbrock: analytisch und von WORHP ZEN berechnete Sensitivitäten der optimalen Lösung	28
4.2	Minimierung der Funktion von Rosenbrock: analytisch und von WORHP ZEN berechnete Sensitivitäten der Nebenbedingungen	28
4.3	Minimierung der Funktion von Rosenbrock: analytisch und von WORHP ZEN berechnete Sensitivitäten der Zielfunktion	29
4.4	Minimierung der Funktion von Rosenbrock: analytisch und von WORHP ZEN berechnete zweite Sensitivitäten der Zielfunktion	29
4.5	Minimierung der Funktion von Rosenbrock: Anzahl und prozentualer Anteil an Null-Elementen in den Matrizen der Sensitivitätsableitungen	30
4.6	Normierter Fehler bei Approximation des Splineproblems bei Störung 1	33
4.7	Normierter Fehler bei Approximation des Splineproblems bei Störung 2	33
4.8	Echtzeitoptimierung des Splineproblems: WORHP ZEN Approximationen der Zielfunktion im Vergleich	34
4.9	Echtzeitoptimierung des Splineproblems: Fehler der WORHP ZEN Approximationen der Zielfunktion	34

Kapitel 1

Einführung

Bei der parametrischen Sensitivitätsanalyse werden Wirkungsbeziehungen aller in einem komplexen System auftretenden Parameter untersucht. Von Interesse sind die Auswirkungen auf das System bei Veränderung eines oder mehrerer Parameter. Anwendung findet die Sensitivitätsanalyse beispielsweise beim Ausfindigmachen von dem System stark beeinflussenden Modellungenauigkeiten, bei der Maximierung der Stabilität des Systems oder beim Auffinden einer bestmöglichen Auswahl von Parametern für ein komplexes System.

In dieser Arbeit sind die untersuchten komplexen Systeme Optimierungsprobleme und die parametrische Sensitivitätsanalyse somit ein Teilgebiet der angewandten Mathematik. Die Sensitivitätsanalyse wird in Form der Post-Optimalitätsanalyse betrachtet, die nach Berechnung einer optimalen Lösung des Optimierungsproblems ihre parametrischen Abhängigkeiten bestimmt.

Mit Hilfe von Sensitivitäten lassen sich in der Optimierung beispielsweise die folgenden Fragestellungen klären: Wie abhängig ist die optimale Bahn einer Mondrakete von ihrer Masse? Ist die Abhängigkeit so groß, dass die Masse beim Bau der Rakete auf enorme Genauigkeit hin untersucht werden muss? Oder lohnt es sich vielleicht die Masse zu verringern, um eine noch bessere Bahn zu erhalten? Wie stabil ist diese Bahn bzgl. Störungen bedingt durch einen Wettereinbruch?

Das Ziel dieser Arbeit ist die Entwicklung, Vorstellung und Analyse des in den Löser von nichtlinearen Optimierungsproblemen WORHP¹ integrierten Sensitivitätsanalysemoduls WORHP ZEN². Damit lassen sich die Sensitivitäten teilweise als Nebenprodukt des Optimierungsprozesses von WORHP gewinnen.

Dazu werden in Kapitel 2 zunächst die mathematischen Grundlagen der Optimierung dargelegt, um darauf aufbauend die Theorie der parametrischen Sensitivitätsanalyse herzuleiten. Eine kurze Einleitung in den Löser von nichtlinearen Optimie-

¹WORHP ist eine Abkürzung für „We optimize really huge problems“.

²Zen wird wie „Sen“ (für Sensitivitätsanalyse) ausgesprochen.

rungsproblemen WORHP folgt in Kapitel 3. Diese dient dem Verständnis der Implementierung sowie Funktionsweise des ebenfalls in Kapitel 3 vorgestellten Sensitivitätsanalysemoduls WORHP ZEN. Die Analyse der Ergebnisse und Berechnungen von WORHP ZEN folgt in Kapitel 4 anhand eines Optimierungsproblems sowie eines Optimalsteuerungsproblems.

Kapitel 2

Theorie der nichtlinearen Optimierung

Die Optimierung als Teilbereich der angewandten Mathematik hat die optimale Bestimmung von Variablen eines Systems zum Ziel. Bei technischen, aber auch wirtschaftlichen Systemen wird in der Regel eine hohe Effizienz verlangt, die optimalste gewünscht. Dies könnte die Minimierung der Zeit, der Strecke, der Energie oder aber der Kosten bedeuten. Die Optimierung spielt daher eine signifikante Rolle bei der Lösung von Problemstellungen aus nahezu allen wissenschaftlichen Gebieten wie beispielsweise der Physik, der Meteorologie oder auch den Wirtschaftswissenschaften und der Statistik.

Eine gute Übersicht über die verschiedenen Aufgabenstellungen der Optimierung und mögliche Methoden für deren Lösung hat ANTONIOU ET AL. in [1] zusammengestellt. In dieser Arbeit wird die beschränkte, nichtlineare Optimierung betrachtet. Diese stellt auch die Grundlage für die Werke BÜSKENS [2] und KNAUER [13] dar, an denen sich dieses Kapitel orientiert.

Im vorliegenden Kapitel wird zunächst ein kurzer Überblick über die Grundlagen der nichtlinearen Optimierung gegeben. Der Fokus dieses Kapitels liegt jedoch auf der anschließenden parametrischen Sensitivitätsanalyse in Abschnitt 2.4.

2.1 Aufgabenstellung der nichtlinearen Optimierung

In der klassischen Aufgabenstellung der nichtlinearen Optimierung soll eine Optimierungsvariable $x \in \mathbb{R}^N$ so bestimmt werden, dass eine *Zielfunktion* $f : \mathbb{R}^N \rightarrow \mathbb{R}$ unter Einhaltung der *Ungleichungsnebenbedingungen* $g = (g_1, \dots, g_{N_g})^T : \mathbb{R}^N \rightarrow \mathbb{R}^{N_g}$

sowie *Gleichungsnebenbedingung* $h = (h_1, \dots, h_{N_h})^T : \mathbb{R}^N \rightarrow \mathbb{R}^{N_h}$ minimiert wird. Das *Standardproblem der nichtlinearen Optimierung* lautet

$$\begin{aligned} & \min_{x \in \mathbb{R}^N} f(x) \\ \text{unter} \quad & g_i(x) \leq 0, \quad i = 1, \dots, N_g \\ & h_j(x) = 0, \quad j = 1, \dots, N_h \end{aligned} \tag{NLP}$$

Offensichtlich ist die Betrachtung von Minimierungsproblemen der Zielfunktion ausreichend, da die Beziehung

$$\max f(x) = -\min(-f(x))$$

gilt.

Erfüllt ein Punkt $x \in \mathbb{R}^N$ alle Nebenbedingungen, so heißt er *zulässig*. Alle diese Punkte werden in der *zulässige Menge*

$$\mathcal{S} := \{x \in \mathbb{R}^N \mid g_i(x) \leq 0, \quad i = 1, \dots, N_g \\ h_j(x) = 0, \quad j = 1, \dots, N_h\}$$

zusammengefasst.

Eine Lösung $x^* \in \mathbb{R}^N$ des Optimierungsproblems [NLP](#) ist ein Punkt, der

- i. ein *lokales Minimum*, d.h. es existiert eine Umgebung $V \in \mathbb{R}^N$ von x^* sodass

$$f(x^*) \leq f(x), \quad \text{für alle } x \in S \cap V$$

- ii. ein *streng lokales Minimum*, d.h. es existiert eine Umgebung $V \in \mathbb{R}^N$ von x^* sodass

$$f(x^*) < f(x), \quad \text{für alle } x \in S \cap V, x \neq x^*$$

- iii. oder ein (*streng*) *globales Minimum*, d.h. die Eigenschaften in i. bzw. ii. sind für alle Umgebungen $V \in \mathbb{R}^N$ von x^* erfüllt,

darstellt.

Des Weiteren soll die Menge der aktiven Indizes definiert werden, da sie in den späteren Betrachtungen eine signifikante Rolle spielt.

Definition 2.1 (aktive Indizes). Sei x^* eine optimale Lösung von [NLP](#). Dann wird

$$\mathcal{I}(x^*) := \{i \in 1, \dots, N_g \mid g_i(x, p) = 0\}$$

die Menge der aktiven Indizes genannt.

Über die Menge der aktiven Indizes kann demnach die Relevanz einer Ungleichungsnebenbedingung an einer optimalen Lösung x^* abgelesen werden. Ist eine Ungleichungsnebenbedingung g_i inaktiv, d.h. $i \notin \mathcal{I}(x^*)$, so ist die optimale Lösung unabhängig von dieser Nebenbedingung.

2.2 Notwendige und hinreichende Optimalitätsbedingungen

In diesem Abschnitt sollen Bedingungen einer optimalen Lösung des [NLP](#) aufgezeigt werden. Dabei bedeutet die Ordnung n einer Bedingung, dass lediglich n -te Ableitungen vorkommen.

In der Literatur können viele solcher Bedingungen gefunden werden. So beschreibt SPELLUCCI [16] unter anderem geometrisch motivierte Bedingungen bei denen die Ableitung der Zielfunktion in einem bestimmten Kegel liegen muss. Diese, aber auch viele weitere Optimalitätskriterien sind in der Praxis schwer zugänglich bzw. sogar unbrauchbar. Die bekanntesten Optimalitätsbedingungen sind die FRITZ-JOHN-Bedingungen (vgl. z.B. JUNGnickel [12]). Zusammen mit den in [14] erstmalig veröffentlichten KARUSH-KUHN-TUCKER Bedingungen können sie zu einem mächtigen Werkzeug der Optimierung werden.

Auf zuletzt genannten Methoden beruhen die in dieser Arbeit aufgezeigten Optimalitätsbedingungen. Sie sind dabei auf die Kriterien reduziert, die eine direkte analytische Berechnung einer optimalen Lösung ermöglichen.

Sowohl die Optimalitätsbedingung erster, als auch die zweiter Ordnung verwenden die im Folgenden definierte LAGRANGE-Funktion.

Definition 2.2 (LAGRANGE-Funktion). Für $\lambda \in \mathbb{R}^{N_g}$ und $\mu \in \mathbb{R}^{N_h}$ wird die Funktion

$$L(x, \lambda, \mu) := f(x) + \lambda^T g(x) + \mu^T h(x)$$

die LAGRANGE-Funktion genannt. Ferner heißen die Vektoren λ und μ LAGRANGE-Multiplikatoren.

Definition 2.3 (Regularitätsbedingung der linearen Unabhängigkeit). Ein Punkt $x^* \in S$ heißt normal, falls die Gradienten $\nabla g_i(x^*), i \in \mathcal{I}(x^*)$ sowie $\nabla h_j(x^*), j = 1, \dots, N_h$ linear unabhängig sind.

Wird für die Nebenbedingungen des [NLP](#) die Regularitätsbedingung der linearen Unabhängigkeit 2.3 vorausgesetzt, kann die notwendige Optimalitätsbedingung erster Ordnung in der folgenden Form formuliert werden.

Satz 2.4 (Notwendige Karush-Kuhn-Tucker (KKT) Bedingungen). Sei x^* ein zulässiger Punkt des [NLP](#). Die Zielfunktion f sei differenzierbar und die Nebenbedingungen g sowie h seien stetig differenzierbar. Ist x^* normal und eine Minimalstelle von f , dann existieren die eindeutig bestimmten LAGRANGE-Multiplikatoren $\lambda \in \mathbb{R}^{N_g}$ und $\mu \in \mathbb{R}^{N_h}$, die die folgenden KKT-Bedingungen erfüllen:

i. Vorzeichenbedingung:

$$\lambda_i \geq 0 \quad \text{für } i = 1, \dots, N_g$$

ii. Optimalitätsbedingung:

$$\nabla_x L(x^*, \lambda, \mu) = \nabla f(x^*) + \lambda^T \nabla g(x^*) + \mu^T \nabla h(x^*) = 0$$

iii. Komplementaritätsbedingung:

$$\lambda^T g(x^*) = 0$$

Beweis. Diese Aussage wird von JUNGnickel [12] bis auf die Eindeutigkeit der LAGRANGE-Multiplikatoren bewiesen. Ein Beweis der Eindeutigkeit ist daher im Folgenden angeführt.

Seien $\bar{\lambda}$ und $\bar{\mu}$ weitere LAGRANGE-Multiplikatoren, die die KKT-Bedingungen erfüllen. Es gilt

$$0 = \nabla f(x^*) + \lambda^T \nabla g(x^*) + \mu^T \nabla h(x^*) = \nabla f(x^*) + \bar{\lambda}^T \nabla g(x^*) + \bar{\mu}^T \nabla h(x^*)$$

Dann ist

$$(\lambda^T - \bar{\lambda}^T) \nabla g(x^*) + (\mu^T - \bar{\mu}^T) \nabla h(x^*) = 0$$

Für $i \notin \mathcal{I}(x^*)$ muss bereits $\lambda_i^T = \bar{\lambda}_i^T = 0$ gelten. Da x^* nach Voraussetzung normal ist, folgt mit der linearen Unabhängigkeit der Gradienten $\lambda_i^T - \bar{\lambda}_i^T = 0$ für $i \in \mathcal{I}(x^*)$ sowie $\mu^T - \bar{\mu}^T = 0$ und damit die Eindeutigkeit. \square

Es lassen sich auch Bedingungen erster Ordnung mit schwächeren Voraussetzungen formulieren. GERDTS [10] bietet hier eine gute Übersicht. Allerdings muss dann teilweise auf die Garantie der Eindeutigkeit der LAGRANGE-Multiplikatoren verzichtet werden.

Erfüllt ein Punkt die notwendigen Bedingungen erster Ordnung, so wird er *kritischer Punkt* genannt. Kritische Punkte können Lösungen des Optimierungsproblems NLP sein, sind es aber nicht notwendigerweise. Um diese Fragestellung vollends zu klären, werden die Optimalitätsbedingungen zweiter Ordnung benötigt. In ihnen wird untersucht, ob die HESSE-Matrix der LAGRANGE-Funktion auf dem *kritischen Kegel*

$$\mathcal{C} := \{v \in \mathbb{R}^N \mid \begin{array}{ll} \nabla g_i(x^*)v \leq 0, & i \in \mathcal{I}(x^*), \quad \lambda_i = 0 \\ \nabla g_i(x^*)v = 0, & i \in \mathcal{I}(x^*), \quad \lambda_i > 0 \\ \nabla h_j(x^*)v = 0, & j \in \{1, \dots, N_h\} \end{array}\}$$

positiv definit ist.

Satz 2.5 (Notwendige Bedingungen zweiter Ordnung). Sei x^* ein zulässiger Punkt des *NLP*. Die Zielfunktion f und die Nebenbedingungen g sowie h seien zweimal stetig differenzierbar. Ist x^* normal und eine Minimalstelle von f , dann sind nach Satz 2.4 die LAGRANGE-Multiplikatoren λ und μ eindeutig bestimmt und es gilt:

$$v^T \nabla_x^2 L(x^*, \lambda, \mu) v \geq 0, \quad \text{für alle } v \in \mathcal{C}$$

Beweis. Ein Beweis dieser Tatsache kann in FLETCHER [7] gefunden werden. \square

Satz 2.6 (Hinreichende Bedingung zweiter Ordnung). Sei x^* ein zulässiger und normaler Punkt des *NLP*. Die Zielfunktion f und die Nebenbedingungen g sowie h seien zweimal stetig differenzierbar. Existieren LAGRANGE-Multiplikatoren λ sowie μ , die die KKT-Bedingungen aus Satz 2.4 erfüllen und gilt

$$v^T \nabla_x^2 L(x^*, \lambda, \mu) v > 0, \quad \text{für alle } v \in \mathcal{C} \setminus \{0\}$$

dann ist x^* eine streng lokale Minimalstelle des *NLP*.

Beweis. Der Beweis dieses Satzes befindet sich ebenfalls in FLETCHER [7]. \square

2.3 Aufgabenstellung der gestörten nichtlinearen Optimierung

In der praktischen Anwendung sind die Zielfunktion f als auch die Nebenbedingungen g und h des nichtlinearen Optimierungsproblems *NLP* oft von Parametern abhängig. Dabei sind möglichst viele Informationen über die Abhängigkeit der optimalen Lösung von diesen Parametern wünschenswert. Deshalb werden in diesem Abschnitt zunächst ein parametergestörtes Optimierungsproblem definiert und wichtige Eigenschaften aufgezeigt, um darauf aufbauend die parametrische Sensitivitätsanalyse in Abschnitt 2.4 herzuleiten.

Die Störungen bzw. die Parameter bzgl. derer das System einer Sensitivitätsanalyse unterzogen werden soll, werden im Folgenden *Störparameter* $p \in \mathbb{R}^{N_p}$ genannt. Alle Systemgleichungen können von diesem Störparameter abhängen, d.h. es werden die Zielfunktion $f : \mathbb{R}^N \times \mathbb{R}^{N_p} \rightarrow \mathbb{R}$ und die Nebenbedingungen $g = (g_1, \dots, g_{N_g})^T : \mathbb{R}^N \times \mathbb{R}^{N_p} \rightarrow \mathbb{R}^{N_g}$ sowie $h = (h_1, \dots, h_{N_h})^T : \mathbb{R}^N \times \mathbb{R}^{N_p} \rightarrow \mathbb{R}^{N_h}$ betrachtet.

Das *Standardproblem der gestörten nichtlinearen Optimierung* lautet dann:

$$\begin{aligned} & \min_{x \in \mathbb{R}^N} f(x, p) \\ \text{unter} & \quad g_i(x, p) \leq 0, \quad i = 1, \dots, N_g \\ & \quad h_j(x, p) = 0, \quad j = 1, \dots, N_h \end{aligned} \tag{NLP(p)}$$

Bei Betrachtung eines Referenzwertes $p = p_0$ wird das Standardproblem $\text{NLP}(\mathbf{p})$ als *ungestört* oder *nominell* bezeichnet.

Die Definition der *Menge der zulässigen Punkte* ändert sich entsprechend zu

$$S(p) := \{x \in \mathbb{R}^N \mid \begin{array}{l} g_i(x, p) \leq 0, \quad i = 1, \dots, N_g \\ h_j(x, p) = 0, \quad j = 1, \dots, N_h \end{array}\}$$

und analog sei nun

$$\mathcal{I}(x^*, p) := \{i \in 1, \dots, N_g \mid g_i(x, p) = 0\}$$

die *Menge der aktiven Indizes*.

Da für ungestörte Probleme die Systemgleichungen zu $f(x) := f(x, p_0)$, $g(x) := g(x, p_0)$ und $h(x) := h(x, p_0)$ definiert werden können, bleibt die mathematische Theorie über die notwendigen und hinreichenden Optimalitätsbedingungen aus Abschnitt 2.2 gültig.

2.4 Parametrische Sensitivitätsanalyse

Um die Auswirkungen eines Parameters an der optimalen Lösung eines gestörten, nichtlinearen Optimierungsproblems $\text{NLP}(\mathbf{p})$ beschreiben zu können, sollen in diesem Abschnitt zunächst Formeln für eben diese Sensitivitäten hergeleitet werden. Dies werden totale Ableitungen aller Systemgleichungen des $\text{NLP}(\mathbf{p})$ sein. Abschließend werden die Sensitivitäten benutzt, um eine Möglichkeit der direkten, aber genäherten Berechnung der optimalen Lösung eines gestörten Problems aufzuzeigen. Diese Echtzeit-Optimierung findet in der Anwendung häufig Verwendung.

So zeigt beispielsweise NIKOLAYZIK [15], wie mit Hilfe der Sensitivitätsanalyse innerhalb eines numerischen Verfahrens für die Lösung von nichtlinearen Optimierungsproblemen eine Nachkorrektur zur Verbesserung der Ergebnisse implementiert werden kann.

In einem angewandteren Beispiel beschreibt KNAUER [13], wie die Sensitivitätsanalyse u.a. genutzt werden kann, um bei der Bahnberechnung eines Industrieroboters auftretende Störungen zu kompensieren.

Eine umfassende Betrachtung der Theorie der Sensitivitätsanalyse kann in BÜSKENS [2] gefunden werden. BÜSKENS weitet das Thema der Sensitivitätsanalyse dabei auch auf optimale Steuerungsprozesse aus.

2.4.1 Sensitivitäten der optimalen Lösung

Eine Aussage über die Existenz einer optimalen Lösung und deren Eigenschaften unter Einfluss eines Störparameters p liefert der folgende zentrale Satz der Sensitivitätsanalyse.

Satz 2.7 (Sensitivitätssatz). *Sei $x^* \in \mathbb{R}^N$ ein zulässiger Punkt des $NLP(p)$ zum Referenzwert $p_0 \in \mathbb{R}^{N_p}$, welcher zusammen mit den LAGRANGE-Multiplikatoren $\lambda^* \in \mathbb{R}^{N_g}$ und $\mu^* \in \mathbb{R}^{N_h}$ die hinreichende Bedingung zweiter Ordnung aus Satz 2.6 erfüllt. Zusätzlich sei $\lambda_i^* > 0$ für alle $i \in \mathcal{I}(x^*, p_0)$. Weiter seien f, g sowie h zweimal stetig differenzierbar bzgl. x in einer Umgebung von x^* . Ebenso seien $\nabla_x f$, $\nabla_x g$ sowie $\nabla_x h$ und die Funktionen g und h stetig differenzierbar bzgl. p in einer Umgebung von p_0 .*

Dann existieren eine Umgebung $P \subset \mathbb{R}^{N_p}$ von p_0 und stetig differenzierbare Funktionen $x : P \rightarrow \mathbb{R}^N$, $\lambda : P \rightarrow \mathbb{R}^{N_g}$ sowie $\mu : P \rightarrow \mathbb{R}^{N_h}$ mit

$$i. \quad x(p_0) = x^*, \quad \lambda(p_0) = \lambda^*, \quad \mu(p_0) = \mu^*$$

ii. *Die Menge der aktiven Indizes bleibt unverändert, d.h.*

$$\mathcal{I}(x(p), p) \equiv \mathcal{I}(x^*, p_0), \quad \text{für alle } p \in P$$

iii. *Der Punkt $x(p)$ bleibt normal, d.h. für alle $p \in P$ sind die Gradienten*

$$\nabla_x g_i(x(p), p), i \in \mathcal{I}(x(p), p) \quad \text{sowie} \quad \nabla_x h_j(x(p), p), j = 1, \dots, N_h$$

linear unabhängig.

iv. *Für alle $p \in P$ erfüllt der Punkt $x(p)$ zusammen mit $\lambda(p)$ und $\mu(p)$ die hinreichenden Bedingungen zweiter Ordnung aus Satz 2.6 mit $\lambda_i(p) > 0$ für alle $i \in \mathcal{I}(x(p), p)$. Das bedeutet $x(p)$ ist ein streng lokales Minimum des $NLP(p)$ mit den LAGRANGE-Multiplikatoren $\lambda(p)$ und $\mu(p)$.*

Beweis. Diese Aussage wird unter anderem in SPELLUCCI [16] bewiesen. □

Werden direkt nur die aktiven Nebenbedingungen des $NLP(p)$ betrachtet, können die Ergebnisse und Folgerungen des Sensitivitätssatzes in etwas kompakterer Form angegeben werden. Einen Beweis des Satzes bei dieser Herangehensweise liefert BÜSKENS [2].

Während des Beweises des Sensitivitätssatzes 2.7 werden Gleichungen für die Berechnung der Sensitivitäten der optimalen Lösung entwickelt. Da diese die Grundlage der Sensitivitätsanalyse bilden, soll deren Herleitung im Folgenden kurz skizziert werden.

Für die Lösung des gestörten Problems der nichtlinearen Optimierung müssen die notwendigen Bedingungen erster Ordnung aus Satz 2.4 erfüllt sein, die zusammenfassend als

$$\begin{aligned} K(x, \lambda, \mu, p) &:= \begin{pmatrix} \nabla_x L(x, \lambda, \mu, p) \\ \Delta \cdot g(x, p) \\ h(x, p) \end{pmatrix} \\ &= \begin{pmatrix} \nabla_x f(x, p) + \lambda^T \nabla_x g(x, p) + \mu^T \nabla_x h(x, p) \\ \Delta \cdot g(x, p) \\ h(x, p) \end{pmatrix} = 0 \end{aligned}$$

geschrieben werden können, wobei $\Delta := \text{diag}(\lambda_1^*, \dots, \lambda_{N_g}^*)$ ist. Der Vereinfachung der Darstellung halber sollen im Weiteren die abkürzenden Schreibweisen

$$\begin{aligned} L &:= L(x^*, \lambda^*, \mu^*, p_0) \\ f &:= f(x^*, p_0) \\ g &:= g(x^*, p_0) \\ h &:= h(x^*, p_0) \end{aligned} \tag{2.1}$$

als Auswertung der Funktionen in der optimalen Lösung (x^*, λ^*, μ^*) des nominellen Optimierungsproblems definiert werden. Wird K nun partiell nach den Argumenten (x, λ, μ) in der optimalen Lösung abgeleitet folgt

$$\frac{\partial K}{\partial(x, \lambda, \mu)}(x^*, \lambda^*, \mu^*, p_0) = \begin{pmatrix} \nabla_x^2 L & \nabla_x g^T & \nabla_x h^T \\ \Delta \nabla_x g & \Gamma & 0 \\ \nabla_x h & 0 & 0 \end{pmatrix} \tag{2.2}$$

mit $\Gamma := \text{diag}(g_1, \dots, g_{N_g})$. Die Matrix aus Gleichung (2.2) wird im Folgenden *KKT-Matrix* genannt. In dem Beweis des Sensitivitätssatzes 2.7 wird bei SPELLUCCI [16] die Invertierbarkeit der KKT-Matrix gezeigt. Damit sowie unter den Voraussetzungen des Sensitivitätssatzes 2.7 folgen dann unter Zuhilfenahme des Satzes über implizite Funktionen die Gleichungen für die Sensitivitäten der optimalen Lösung.

Satz 2.8 (Satz über implizite Funktionen). *Seien $x^* \in \mathbb{R}^N$ und $p_0 \in \mathbb{R}^{N_p}$ gegeben. Die Funktion $F : \mathbb{R}^N \times \mathbb{R}^{N_p} \rightarrow \mathbb{R}^N$ mit $F(x^*, p_0) = 0$ sei im Punkt (x^*, p_0) differenzierbar und die JACOBI-Matrix $\nabla_x F(x^*, p_0)$ sei invertierbar.*

Dann gibt es offene Umgebungen $U \subset \mathbb{R}^N$ von x^ und $P \subset \mathbb{R}^{N_p}$ von p_0 sowie eine differenzierbare Funktion $x : P \rightarrow U$ mit $F(x(p), p) = 0$ für alle $p \in P$.*

Ist $(x, p) \in U \times P$ ein Punkt mit $F(x, p) = 0$, so folgt $x = x(p)$. Ferner gilt für die JACOBI-Matrix von x

$$\nabla_p x(p_0) = -(\nabla_x F(x^*, p_0))^{-1} \nabla_p F(x^*, p_0).$$

Beweis. Ein Beweis findet sich in dem Standardwerk der Analysis FORSTER [8]. \square

Folgerung 2.9 (Sensitivitäten der optimalen Lösung). *Seien die Voraussetzungen des Sensitivitätssatzes 2.7 erfüllt. Dann gilt*

$$\begin{pmatrix} \frac{dx}{dp}(p_0) \\ \frac{d\lambda}{dp}(p_0) \\ \frac{d\mu}{dp}(p_0) \end{pmatrix} = - \begin{pmatrix} \nabla_x^2 L & \nabla_x g^T & \nabla_x h^T \\ \Delta \nabla_x g & \Gamma & 0 \\ \nabla_x h & 0 & 0 \end{pmatrix}^{-1} \begin{pmatrix} \nabla_{xp} L \\ \Delta \nabla_p g \\ \nabla_p h \end{pmatrix}$$

In dieser Form lassen sich die Sensitivitäten der optimalen Lösung direkt ohne das Wissen der expliziten Abhängigkeit der Lösung x^* vom Störparameter $p \in \mathbb{R}^{N_p}$ berechnen.

2.4.2 Sensitivitäten von Zugehörigkeitsfunktionen

Neben der Sensitivitäten der optimalen Lösung sind auch die daraus resultierenden Auswirkungen auf die Zielfunktion, die LAGRANGE-Funktion sowie die Nebenbedingung von Interesse. Dazu werden diese Funktionen zunächst als Zugehörigkeitsfunktion des Optimierungsproblems $NLP(p)$ betrachtet, deren Sensitivität berechnet und mit diesem Resultat die Sensitivitäten der oben genannten Funktionen hergeleitet.

Definition 2.10 (Zugehörigkeitsfunktion). *Sei $\tilde{z} : \mathbb{R}^N \times \mathbb{R}^{N_g} \times \mathbb{R}^{N_h} \times \mathbb{R}^{N_p} \rightarrow \mathbb{R}^{N_z}$ eine einmal stetig differenzierbare Funktion. Weiter seien die Voraussetzungen des Sensitivitätssatzes 2.7 erfüllt, d.h. es existiert die Umgebung $P \subset \mathbb{R}^{N_p}$ in der die Funktionen $x : P \rightarrow \mathbb{R}^N$, $\lambda : P \rightarrow \mathbb{R}^{N_g}$ sowie $\mu : P \rightarrow \mathbb{R}^{N_h}$ definiert sind. Dann heißt*

$$z(p) := \tilde{z}(x(p), \lambda(p), \mu(p), p)$$

eine zu $NLP(p)$ zugehörige Funktion.

Unter Anwendung der Kettenregel und der Folgerung 2.9 gilt für die Sensitivitäten der Zugehörigkeitsfunktion der folgende Satz.

Satz 2.11 (Sensitivität von Zugehörigkeitsfunktionen). *Sei $z : \mathbb{R}^{N_p} \rightarrow \mathbb{R}^{N_z}$ eine Zugehörigkeitsfunktion. Weiter seien die Voraussetzungen des Sensitivitätssatzes 2.7 für das $NLP(p)$ erfüllt. Dann gilt*

$$\frac{dz}{dp}(p_0) = - \begin{pmatrix} \nabla_x z & \nabla_{\lambda} z & \nabla_{\mu} z \end{pmatrix} \begin{pmatrix} \nabla_x^2 L & \nabla_x g^T & \nabla_x h^T \\ \Delta \nabla_x g & \Gamma & 0 \\ \nabla_x h & 0 & 0 \end{pmatrix}^{-1} \begin{pmatrix} \nabla_{xp} L \\ \Delta \nabla_p g \\ \nabla_p h \end{pmatrix} + \nabla_p z$$

Mit diesem Resultat lassen sich nun die Sensitivitäten der Nebenbedingungen sowie der Zielfunktion angeben.

Folgerung 2.12 (Sensitivität der Nebenbedingungen). *Seien die Voraussetzungen des Sensitivitätssatzes 2.7 erfüllt. Dann folgt mit den Abkürzungen aus Gleichung (2.1)*

$$\begin{aligned}\frac{dg}{dp}(p_0) &= \nabla_x g \frac{dx}{dp}(p_0) + \nabla_p g \\ \frac{dh}{dp}(p_0) &= \nabla_x h \frac{dx}{dp}(p_0) + \nabla_p h = 0\end{aligned}$$

Insbesondere gilt für die g_i mit $i \in \mathcal{I}(x^*, p_0)$: $\frac{dg_i}{dp}(p_0) = 0$

Beweis. Mit Satz 2.11 folgt

$$\begin{aligned}\frac{dg}{dp}(p_0) &= - \begin{pmatrix} \nabla_x g & 0 & 0 \end{pmatrix} \begin{pmatrix} \nabla_x^2 L & \nabla_x g^T & \nabla_x h^T \\ \Delta \nabla_x g & \Gamma & 0 \\ \nabla_x h & 0 & 0 \end{pmatrix}^{-1} \begin{pmatrix} \nabla_{xp} L \\ \Delta \nabla_p g \\ \nabla_p h \end{pmatrix} + \nabla_p g \\ &= \nabla_x g \frac{dx}{dp}(p_0) + \nabla_p g\end{aligned}$$

Für g_i mit $i \in \mathcal{I}(x^*, p_0)$ folgt aus der Folgerung 2.9 durch Anwenden der KKT-Matrix

$$\lambda^* \nabla_x g \frac{dx}{dp}(p_0) = -\lambda^* \nabla_p g$$

und damit

$$\frac{dg}{dp}(p_0) = -\nabla_p g + \nabla_p g = 0$$

Die Aussage für die Gleichungsnebenbedingungen h folgt analog. \square

Folgerung 2.13 (Sensitivität der Zielfunktion). *Seien die Voraussetzungen des Sensitivitätssatzes 2.7 erfüllt. Ferner sei f bzgl. p stetig differenzierbar. Dann folgt mit den Abkürzungen aus Gleichung (2.1)*

$$\begin{aligned}\frac{df}{dp}(p_0) &= \nabla_x f \frac{dx}{dp}(p_0) + \nabla_p f \\ &= \nabla_p L\end{aligned}$$

Beweis. Die erste Gleichung folgt direkt unter Anwendung des Satzes 2.11. Weiter gilt auf Grund der notwendigen Optimalitätsbedingung erster Ordnung aus Satz 2.4:

$$\begin{aligned}\frac{df}{dp}(p_0) &= \nabla_x f \frac{dx}{dp}(p_0) + \nabla_p f \\ &= -\lambda^{*T} \nabla_x g \frac{dx}{dp}(p_0) - \mu^{*T} \nabla_x h \frac{dx}{dp}(p_0) + \nabla_p f\end{aligned}$$

Mit der Folgerung 2.12 und der Komplementaritätsbedingung aus Satz 2.4 folgt dann

$$\begin{aligned}\frac{df}{dp}(p_0) &= -\lambda^{*T}(-\nabla_p g) - \mu^{*T}(-\nabla_p h) + \nabla_p f \\ &= \nabla_p(f + \lambda^{*T}g + \mu^{*T}h) \\ &= \nabla_p L\end{aligned}$$

□

Für die Zielfunktion lassen sich sogar Sensitivitätsableitungen zweiter Ordnung angeben.

Folgerung 2.14 (Sensitivität zweiter Ordnung der Zielfunktion). *Seien die Voraussetzungen des Sensitivitätssatzes 2.7 erfüllt. Ferner seien f , g sowie h bzgl. p zweimal stetig differenzierbar. Dann folgt mit den Abkürzungen aus Gleichung (2.1)*

$$\begin{aligned}\frac{d^2 f}{dp^2}(p_0) &= \frac{dx}{dp}(p_0)^T \nabla_{xp} L + \frac{d\lambda}{dp}(p_0)^T \nabla_p g + \frac{d\mu}{dp}(p_0)^T \nabla_p h + \nabla_p^2 L \\ &= 2 \frac{dx}{dp}(p_0)^T \nabla_{xp} L + \frac{dx}{dp}(p_0)^T \nabla_x^2 L \frac{dx}{dp}(p_0) + \nabla_p^2 L\end{aligned}$$

Beweis. Ein Beweis dieser Tatsache kann in BÜSKENS [2] oder KNAUER [13] gefunden werden. Zwar wird der Beweis dort nur unter Betrachtung der aktiven Nebenbedingungen geführt, jedoch funktioniert er mit den in dem Beweis der Folgerung 2.13 getätigten Umformungen und dem Auswerten der KKT-Matrix in Folgerung 2.9 komplett analog. □

2.4.3 Lineare Störungen in Zielfunktion und Nebenbedingungen

Die Betrachtung linearer Störparametern $p \in \mathbb{R}^{N_p}$ in der Zielfunktion sowie konstanter Störungen in den Nebenbedingungen liefern wichtige Erkenntnisse für die Effizienzsteigerung späterer Algorithmen. Bei dieser Art Störung kann bei der Berechnung der Sensitivitäten auf zusätzliche Ableitungsberechnungen verzichtet werden.

Zunächst werden lineare Störungen $r \in \mathbb{R}^N$ in der Zielfunktion betrachtet, d.h.

$$\begin{aligned}\min_{x \in \mathbb{R}^N} & f(x, p) + r^T x \\ \text{unter} & g_i(x, p) \leq 0, \quad i = 1, \dots, N_g \\ & h_j(x, p) = 0, \quad j = 1, \dots, N_h\end{aligned}\tag{2.3}$$

Damit ergibt sich direkt $\nabla_{xr}L = E_N$ und $\nabla_r g = \nabla_r h = 0$ mit der Einheitsmatrix E wodurch sich die Sensitivitätsgleichungen nach den Folgerungen 2.9, 2.12, 2.13 und 2.14 vereinfachen lassen.

Folgerung 2.15 (Sensitivitäten bei linearen Störungen in der Zielfunktion). Sei ein $NLP(p)$ mit linearen Störungen in der Zielfunktion nach Gleichung 2.3 und Referenzparameter $r_0 \in \mathbb{R}^N$ gegeben. Dann lauten die Sensitivitäten nach r mit den abkürzenden Schreibweise nach 2.1

i. für die optimale Lösung:

$$\begin{pmatrix} \frac{dx}{dr}(r_0) \\ \frac{d\lambda}{dr}(r_0) \\ \frac{d\mu}{dr}(r_0) \end{pmatrix} = - \begin{pmatrix} \nabla_x^2 L & \nabla_x g^T & \nabla_x h^T \\ \Delta \nabla_x g & \Gamma & 0 \\ \nabla_x h & 0 & 0 \end{pmatrix}^{-1} \begin{pmatrix} E_N \\ 0 \\ 0 \end{pmatrix}$$

ii. für die Nebenbedingungen:

$$\frac{dg}{dr}(r_0) = \nabla_x g \frac{dx}{dr}(r_0)$$

iii. für die Zielfunktion:

$$\frac{df}{dr}(r_0) = \nabla_r L = x^*$$

iv. zweiter Ordnung für die Zielfunktion:

$$\frac{d^2 f}{dr^2}(r_0) = \frac{dx}{dr}(r_0)$$

Beweis. Die Folgerungen ergeben sich direkt durch Einsetzen in die Gleichungen der Sensitivitäten im allgemeinen Fall. \square

Offensichtlich sind die Sensitivitäten nicht vom Störparameter r abhängig. Ferner bedarf es keiner weiteren Ableitungsberechnung, da der Gradient $\nabla_x g$ bereits für die Aufstellung der KKT-Matrix benötigt wird.

Bei konstanten Störungen in den Nebenbedingungen, d.h.

$$\begin{aligned} \min_{x \in \mathbb{R}^N} \quad & f(x, p) \\ \text{unter} \quad & g_i(x, p) + q_i \leq 0, \quad i = 1, \dots, N_g \\ & h_j(x, p) + q_{N_g+j} = 0, \quad j = 1, \dots, N_h \end{aligned} \tag{2.4}$$

ergibt sich direkt $\nabla_{xq}L = 0$ und $\nabla_q(g, h)^T = E_{N_g+N_h}$. Damit lassen sich die Sensitivitätsgleichungen nach den Folgerungen 2.9, 2.12, 2.13 und 2.14 ebenfalls simplifizieren.

Folgerung 2.16 (Sensitivitäten bei konstanten Störungen in den Nebenbedingungen). Sei ein $NLP(p)$ mit konstanten Störungen in den Nebenbedingungen nach Gleichung 2.4 und Referenzparameter $q_0 \in \mathbb{R}^{N_g+N_h}$ gegeben. Dann lauten die Sensitivitäten nach q mit den abkürzenden Schreibweise nach 2.1

i. für die optimale Lösung:

$$\begin{pmatrix} \frac{dx}{dq}(q_0) \\ \frac{d\lambda}{dq}(q_0) \\ \frac{d\mu}{dq}(q_0) \end{pmatrix} = - \begin{pmatrix} \nabla_x^2 L & \nabla_x g^T & \nabla_x h^T \\ \Delta \nabla_x g & \Gamma & 0 \\ \nabla_x h & 0 & 0 \end{pmatrix}^{-1} \begin{pmatrix} 0 & 0 \\ \Delta E_{N_g} & 0 \\ 0 & E_{N_h} \end{pmatrix}$$

ii. für die Nebenbedingungen:

$$\frac{dg}{dq}(q_0) = \nabla_x g \frac{dx}{dq}(q_0) + E_{N_g}$$

iii. für die Zielfunktion:

$$\frac{df}{dq}(q_0) = \nabla_q L = \begin{pmatrix} \lambda^* \\ \mu^* \end{pmatrix}$$

iv. zweiter Ordnung für die Zielfunktion:

$$\frac{d^2 f}{dq^2}(q_0) = \begin{pmatrix} \frac{d\lambda}{dq}(q_0) \\ \frac{d\mu}{dq}(q_0) \end{pmatrix}$$

Beweis. Die Aussage folgt direkt durch Einsetzen, bzw. (iv) auch durch (iii). \square

Die Sensitivitäten sind folglich analog zu oben nicht vom Störparameter q abhängig.

2.4.4 Echtzeitapproximation

Mit Hilfe der Ergebnisse der Sensitivitätsanalyse lassen sich ausgehend von der Lösung des Optimierungsproblems $NLP(p)$ Schätzwerte für die Lösung des gleichen Problems bei leicht veränderten, d.h. gestörten Parametern berechnen. Dafür ist eine neue umfassende Lösung des gestörten Optimierungsproblems $NLP(p)$ nicht nötig.

Ist die Störung p in der aus dem Sensitivitätssatz 2.7 vorausgesetzten Umgebung P , dann bleibt die Menge der aktiven Indizes erhalten. Die Funktionen $x(p)$, $\lambda(p)$, $\mu(p)$

und $f(p)$ lassen sich mit einer TAYLOR-Entwicklung erster Ordnung approximieren mit

$$x(p) \approx x^*(p_0) + \frac{dx}{dp}(p_0)(p - p_0)$$

$$\lambda(p) \approx \lambda^*(p_0) + \frac{d\lambda}{dp}(p_0)(p - p_0)$$

$$\mu(p) \approx \mu^*(p_0) + \frac{d\mu}{dp}(p_0)(p - p_0)$$

$$f(p) \approx f(x^*, p_0) + \frac{df}{dp}(p_0)(p - p_0)$$

sowie

$$f(p) \approx f(x^*, p_0) + \frac{df}{dp}(p_0)(p - p_0) + \frac{1}{2}(p - p_0)^T \frac{d^2f}{dp^2}(p_0)(p - p_0)$$

Die Lösung des gestörten Problems kann so sehr effizient, aber genähert berechnet werden. Daher stellt die Sensitivitätsanalyse ein wichtiges Werkzeug der Echtzeit-Optimierung dar. Allerdings kann aufgrund der Näherung die Einhaltung der Nebenbedingungen nicht garantiert werden. Sei z.B. $x(p)$ die mit der TAYLOR-Entwicklung approximierte Lösung, dann gilt im Allgemeinen

$$g_i(x(p), p) \neq 0, \quad i \in \mathcal{I}(x^*, p) \quad \text{sowie} \quad h_j(x(p), p) \neq 0.$$

Kapitel 3

Der NLP-Solver WORHP mit WORHP ZEN

In diesem Kapitel soll die Implementierung des in den NLP-Solver WORHP integrierten parametrischen Sensitivitätsanalysemoduls WORHP ZEN vorgestellt werden. Dazu wird zunächst ein Überblick über die für WORHP ZEN wichtigen Komponenten von WORHP gegeben und diese werden dann in den Zusammenhang zu den theoretischen Ergebnissen aus Kapitel 2 gestellt. Die Vorstellung von WORHP dient außerdem dem Verständnis der Implementierungen der mit WORHP berechneten, numerischen Beispiele in Kapitel 4. Anschließend werden die Arbeitsweise, die Eigenschaften sowie die Benutzerschnittstelle des WORHP ZEN Moduls dargestellt. Eine umfangreiche Zusammenfassung der Spezifikationen von WORHP kann in BÜSKENS ET AL. [6], [5] sowie [4] nachgelesen werden. Im letztgenannten Report wird darüber hinaus ein Beispiel einer Implementierung eines Optimalitätsproblems betrachtet. Der detaillierten Erklärung der Benutzung von WORHP dient der User Guide [17].

3.1 Überblick über die Grundlagen von WORHP

WORHP ist eine Bibliothek zum numerischen Lösen von nichtlinearen Optimierungsproblemen. Dabei ist WORHP darauf zugeschnitten mit mehreren Millionen Optimierungsvariablen und Nebenbedingung effizient arbeiten zu können. Solche Anzahlen können insbesondere bei der Diskretisierung von optimalen Steuerprozessen entstehen. WORHP ist in der Lage über 99% der Testsets von CUTER¹ sowie COPS 3.0²

¹CUTER ist eine Testumgebung für Optimierungs- und lineare Algebra Solver. Mehr Informationen unter <http://www.cuter.rl.ac.uk/> (Stand 29.06.2012)

²COPS 3.0 ist eine Testumgebung mit hochdimensionalen, beschränkten, nichtlinearen Optimierungsproblemen. Mehr Informationen unter <http://www.mcs.anl.gov/~more/cops/> (Stand 29.06.2012)

zu lösen. Entwickelt wird WORHP in erster Linie von Prof. Dr. Christof Büskens und Dennis Wassel von der Universität Bremen sowie Prof. Dr. Matthias Gerds von der Universität der Bundeswehr München. Die verwendete Programmiersprache ist im Kern FORTRAN 95, in der daher auch WORHP ZEN geschrieben ist. Der Rechteinhaber von WORHP ist das Steinbeis Forschungszentrum für Optimierung, Steuerung und Regelung.

3.1.1 Von WORHP verwendete Standardform

Das Ziel des Programms WORHP ist es nichtlineare Optimierungsaufgaben der Form

$$\begin{aligned} & \min_{x \in \mathbb{R}^N} f(x) \\ \text{unter} \quad & \begin{pmatrix} l \\ L \end{pmatrix} \leq \begin{pmatrix} x \\ g(x) \end{pmatrix} \leq \begin{pmatrix} u \\ U \end{pmatrix} \end{aligned} \quad (3.1)$$

mit $l, u \in \mathbb{R}^N$ und $L, U \in \mathbb{R}^{N_g}$ numerisch zu lösen. Dabei sind analog zu NLP $f : \mathbb{R}^N \rightarrow \mathbb{R}$ die Zielfunktion und $g : \mathbb{R}^N \rightarrow \mathbb{R}^{N_g}$ die Nebenbedingungen.

Im Unterschied zu der Standardform NLP aus Kapitel 2.1 werden hier zusätzlich sogenannte *Boxschränken* l, u der Optimierungsvariable betrachtet. Offensichtlich kann diese Form jedoch direkt in die Standardform NLP überführt werden. Darüber hinaus wird bei WORHP formal nicht zwischen Gleichungs- und Ungleichungsnebenbedingungen unterschieden. Ob eine Nebenbedingung einer Ungleichung oder einer Gleichung entspricht, wird über die Schranken L und U festgesetzt. Gilt $L = U$, so handelt es sich um eine Gleichungsnebenbedingung.

3.1.2 Sequentielle quadratische Programmierung

Zur Lösung der Optimierungsprobleme verwendet WORHP einen SQP³ Algorithmus, der eine spezielle Form eines Abstiegsrichtungsverfahrens darstellt. Dazu wird iterativ in einem Punkt $x^{[k]}$ eine Suchrichtung $d^{[k]}$ für die optimale Lösung berechnet und sich so schrittweise dem Optimum genähert. Das Optimierungsproblem NLP wird dabei durch ein quadratisches Optimierungsproblem approximiert. Dieses lautet im k -ten Schritt

$$\begin{aligned} & \min_{d^{[k]} \in \mathbb{R}^N} \frac{1}{2} d^{[k]T} \nabla_x^2 L(x^{[k]}, \lambda^{[k]}, \mu^{[k]}) d^{[k]} + \nabla_x f(x^{[k]}) d^{[k]} \\ \text{unter} \quad & g(x^{[k]}) + \nabla_x g(x^{[k]}) d^{[k]} \leq 0 \\ & h(x^{[k]}) + \nabla_x h(x^{[k]}) d^{[k]} = 0 \end{aligned} \quad (3.2)$$

³SQP steht für sequentielle quadratische Programmierung

Für das quadratische Optimierungsproblem 3.2 folgt mit Hilfe der notwendigen Bedingungen erster Ordnung aus Satz 2.4

$$\begin{aligned}\nabla_x^2 L(x^{[k]}, \lambda^{[k]}, \mu^{[k]})d^{[k]} + \nabla_x f(x^{[k]}) + \nabla_x g(x^{[k]})\lambda^{[k]} + \nabla_x h(x^{[k]})\mu^{[k]} &= 0 \\ g_i(x^{[k]}) + \nabla_x g_i(x^{[k]})d^{[k]} &= 0 \quad \text{für } i \in \mathcal{I}(x^{[k]}) \\ h(x^{[k]}) + \nabla_x h(x^{[k]})d^{[k]} &= 0\end{aligned}$$

bzw. umformuliert in Matrixschreibweise

$$\begin{pmatrix} \nabla_x^2 L^{[k]} & \nabla_x g^{[k]T} & \nabla_x h^{[k]T} \\ \Delta \nabla_x g^{[k]} & \Lambda & 0 \\ \nabla_x h^{[k]} & 0 & 0 \end{pmatrix} \begin{pmatrix} d^{[k]} \\ \lambda^{[k]} \\ \mu^{[k]} \end{pmatrix} = - \begin{pmatrix} \nabla_x f^{[k]} \\ \Delta g^{[k]} \\ h^{[k]} \end{pmatrix} \quad (3.3)$$

mit $\Delta := \text{diag}(\lambda_1^{[k]}, \dots, \lambda_{N_g}^{[k]})$ sowie $\Lambda := \text{diag}(\chi_{\mathcal{I}(x^{[k]})^c}(1), \dots, \chi_{\mathcal{I}(x^{[k]})^c}(N_g))$. Dabei ist χ die charakteristische Funktion. Außerdem wurden die abkürzenden Schreibweisen $L^{[k]} := L(x^{[k]}, \lambda^{[k]}, \mu^{[k]})$, $f^{[k]} := f(x^{[k]})$, $g^{[k]} := g(x^{[k]})$ sowie $h^{[k]} := h(x^{[k]})$ benutzt.

Nur im Falle von positiver Definitheit der HESSE-Matrix der LAGRANGE-Funktion $\nabla_x^2 L(x^{[k]}, \lambda^{[k]}, \mu^{[k]})$ ist $d^{[k]}$ eine Abstiegsrichtung und kann als Suchrichtung des nicht-linearen Optimierungsproblems dienen.

Details zum SQP-Algorithmus und der dazugehörigen mathematischen Theorie können in SPELLUCCI [16] oder GERDTS [10] gefunden werden.

Die Matrix des Systems 3.3 sowie die aus der parametrischen Sensitivitätsanalyse bekannte KKT-Matrix 2.2 führen bei identischer rechten Seite auf das gleiche lineare Gleichungssystem. Dieser Zusammenhang kann bei der Berechnung der parametrischen Sensitivitätsanalyse gewinnbringend verwendet werden (vgl. Abschnitt 3.2.1).

3.1.3 Speicherformat für dünn besetzte Matrizen

Um hochdimensionale Optimierungsprobleme effizient berechnen zu können, müssen der Speicherplatzbedarf minimiert sowie vorhandene Strukturen erkannt und genutzt werden. Dem wird WORHP mit dem Datentyp `WorhpMatrix` gerecht, in dem jede von WORHP benutzte Matrix gespeichert ist.

Hochdimensionale Optimierungsprobleme, insbesondere diejenigen, die durch die Diskretisierung von optimalen Steuerungsprozessen entstehen, sind sehr oft dünn besetzt, d.h. viele Einträge sind konstant Null. Deshalb werden in `WorhpMatrix` nur die von Null verschiedenen Werte abgespeichert. Bei internen Prozessen arbeitet WORHP mit dem *Coordinate Storage (CS) Format*. Dabei werden die von Null verschiedenen Einträge einer Matrix A durch den Vektor (A_{ij}, i, j) repräsentiert und all diese Triplets in den Vektoren `val`, `row` und `col` nach der Vorschrift

$(\text{val}_k, \text{row}_k, \text{col}_k) = (A_{ij}, i, j)_k$ mit $k = 1, \dots, N_{nz}$ gespeichert. Der Wert N_{nz} bezeichnet die Anzahl von Null verschiedenen Werten. Folglich müssen in diesem Format N_{nz} double und $2N_{nz}$ integer Werte gespeichert werden.

Darüber hinaus stellt WORHP einige Bedingungen an die Sortierung der Einträge sowie die Ausnutzung der Struktur der HESSE-Matrix der LAGRANGE-Funktion. Diese sind für das weitere Verständnis dieser Arbeit nicht erforderlich, können aber bei Bedarf im User Guide [17] nachgelesen werden.

3.1.4 Benutzerschnittstellen von WORHP

WORHP bietet drei verschiedene Benutzerschnittstellen: *Full Feature Interface*, *Basic Feature Interface* und *Legacy Interface*.

Die beiden erst genannten machen Gebrauch vom *Unified Solver Interface*, bei dem sich sämtliche Funktionalitäten von WORHP mit den vier Datenstrukturen `OptVar`, `Workspace`, `Params` und `Control` bedienen lassen. Eine Liste mit für WORHP ZEN signifikanten Variablen der vier Datenstrukturen ist im Anhang A aufgeführt.

Das Full Feature Interface ist das funktionsreichste und bietet beispielsweise die Möglichkeit der *Reverse Communication*. Dafür sind die einzelnen Stufen des Lösungsprozesses des SQP-Verfahrens in *Stages* unterteilt. Die Hauptiterationsschleife des Prozesses wird in das von den UserInnen geschriebene Programm ausgelagert. Damit entsteht für die NutzerInnen die Möglichkeit zwischen den Stages Daten zu analysieren oder eigene bereitzustellen. Die Reverse Communication wird von WORHP u.a. dafür verwendet von den UserInnen analytisch berechnete Ableitung dem System zu übergeben oder die UserInnen zur Bildschirmausgabe des Ergebnisses der aktuellen Stage aufzufordern. In den *UserActions* werden die von WORHP aufgerufenen Aktionen geflaggt und können so von den NutzerInnen abgefragt werden.

Eine Auflistung der *UserActions* ergänzt die Arbeit in Anhang A. Als Beispiele zur Verwendung der Reverse Communication dienen die Quelltexte im Anhang C.

3.2 Das WORHP ZEN Modul

WORHP ZEN kommt dem Wunsch nach WORHP um eine parametrische Sensitivitätsanalyse zu ergänzen. Dabei ist das Ziel von WORHP ZEN möglichst viele Informationen, die bereits durch den SQP Prozess von WORHP anfallen, hinsichtlich der Effizienzsteigerung zu nutzen. Der Aufbau des Moduls ermöglicht sowohl die Nutzung für die klassische Post-Optimalitätsanalyse sowie die Eingliederungen in beliebige andere Prozesse, die Sensitivitätsableitungen benötigen, wie beispielsweise dem Korrekturschritt aus NIKOLAYZIK [15].

Die Post-Optimalitätsanalyse mit WORHP ZEN ist derzeit für das Full Feature Interface von WORHP optimiert. Eine Nutzung mit dem Basic Feature Interface ist prinzipiell möglich. Die gesamten WORHP ZEN Routinen machen Gebrauch des Unified Solver Interface.

3.2.1 Berechnungen von WORHP ZEN

WORHP ZEN ist in der Lage die Sensitivitätsableitungen der optimalen Lösung, die der Nebenbedingungen, der Zielfunktion sowie die Sensitivitätsableitung zweiter Ordnung der Zielfunktion zu bestimmen. Grundlage für diese Berechnungen sind die Folgerungen 2.9, 2.12, 2.13 und 2.14.

WORHP ZEN nutzt gewinnbringend die KKT-Matrix des QP Problems 3.3, für deren Lösung WORHP mittels LEQSOL⁴ eine LU Zerlegung berechnen und speichern lässt. Mittels dieser Zerlegung lässt sich das lineare Gleichungssystem für die Sensitivitätsableitungen der optimalen Lösung in 2.9 direkt durch Vorwärts- und Rückwärtseinsetzen berechnen. Dafür wird nach BÜSKENS [3] prinzipiell nur ein Aufwand von $\mathcal{O}((N + N_g + N_h)^2)$ benötigt. Daraus folgt jedoch, dass für einen Aufruf von WORHP ZEN mindestens ein SQP Schritt getätigt worden sein muss.

Die einzelnen Sensitivitätsableitungen werden mit den folgenden FORTRAN Routinen berechnet.

Listing 3.1: Routinen für die Berechnung der Sensitivitätsableitungen

```

1 CALL ZenDxDmu(opt, work, par, cnt)      ! optimale Loesung
2 CALL ZenDg(opt, work, par, cnt)        ! Nebenbedingungen
3 CALL ZenDf(opt, work, par, cnt)        ! Zielfunktion
4 CALL ZenDf2(opt, work, par, cnt)       ! Zielfunktion 2. Ordnung

```

Bei der Reihenfolge der Aufrufe dieser Routinen muss auf die untereinander herrschenden Abhängigkeiten geachtet werden. So ist beispielsweise die Sensitivitätsableitung der Nebenbedingungen von der optimalen Lösung abhängig (vgl. Folgerung 2.12). Darüber hinaus müssen notwendige Ableitungen wie z.B. $\nabla_p L$ vorher bereit stehen.

Die Ableitungen ∇_{pg} , $\nabla_p L$ und $\nabla_{xp} L$ können entweder per Reverse Communication von den NutzerInnen oder per Finiter Differenzen von WORHP ZEN berechnet werden. Dazu wird ein zentraler Differenzenquotient verwendet mit einer standardmäßigen Genauigkeit von 10^{-5} . Langfristig ist die Integration dieser Routinen in das WORHP Modul FIDIF geplant. Eine finite Differenzenmethode für $\nabla_{pp} L$ steht derzeit nicht zur Verfügung. Eine Bereitstellung von den NutzerInnen ist unumgänglich.

⁴LEQSOL steht für Linear Equation Solver und ist im QP Solver QPSOL integriert. Für Mehr Informationen siehe GERDTS [11].

Die Echtzeit-Optimierung nach Abschnitt 2.4.4 stellt WORHP ZEN in der Routine

Listing 3.2: Routine für die Echtzeit-Optimierung

```
CALL ZenUpdateSolution(opt, work, par, cnt, p, r, q, x, mu, f,
FALSE)
```

bereit, der neben dem Unified Interface auch die Störungen und die Pointer auf die approximierten Lösungen übergeben werden. Zusätzlich wird die Verwendung der zweiten Sensitivitätsableitung der Zielfunktion spezifiziert (vgl. Anhang C.2).

Die Verwendung der Skalierung sowie dem BFGS Update Verfahren⁵ von WORHP (vgl. den User Guide [17]) können derzeit zu falschen Sensitivitätsableitungen von WORHP ZEN führen und sollten daher ausgeschaltet werden. Die Implementierung der Rückskalierung von WORHP ZEN ist jedoch in Planung.

3.2.2 Benutzerschnittstelle von WORHP ZEN

Die EndnutzerInnen werden WORHP ZEN in der Form der Post-Optimalitätsanalyse nutzen wollen. Diese ist als Stage `Zen_Post_Optimum` dem SQP Prozess angehängt. Sie wird aufgerufen, falls eine `optimalSolution` gefunden wurde und mindestens eine Sensitivitätsableitung zu ermitteln ist. Diese Stage kümmert sich um die gesamte Reverse Communication, das Aufrufen der Finiten Differenzen Methoden sowie der Routinen für die Sensitivitätsableitungsberechnung.

Für den nichtlinearen Störparameter p wurde die Datenstruktur `OptVar` um den Vektor `P` mit der Dimension `K` ergänzt (vgl. auch Anhang B). Dimension und Referenzwert sind zu Beginn von den NutzerInnen zu setzen. Sensitivitätsableitungen bzgl. Parametern, die linearen Störungen in der Zielfunktion oder konstanten Störungen in den Nebenbedingungen entsprechen, werden nicht explizit deklariert. WORHP ZEN berechnet all diese Ableitungen automatisch nach den Ergebnissen aus Abschnitt 2.4.3.

Sensitivitätsableitung	Parameter	Matrix
$\frac{dx}{dp}(p_0)$	ZenDxDmu	ZenDX
$\frac{d\mu}{dp}(p_0)$	ZenDxDmu	ZenDMu
$\frac{df}{dp}(p_0)$	ZenDf	ZenDF
$\frac{d^2f}{dp^2}(p_0)$	ZenDf2	ZenDF2
$\frac{dg}{dp}(p_0)$	ZenDg	ZenDG

Tabelle 3.1: WORHP ZEN Zusammenhänge zwischen Matrizen der Sensitivitätsableitungen und ihren Parametern zum Ein- und Ausschalten der Berechnung

⁵BFGS steht für Broyden-Fletcher-Goldfarb-Shanno

Mittels logischer Parameter wie `ZenDf` als Teil der Datenstruktur `Params` kann festgelegt werden, welche Sensitivitätsableitungen berechnet werden sollen. WORHP ZEN speichert diese in `WorhpMatrix` Matrizen im `Workspace`. Eine komplette Übersicht befindet sich in Tabelle 3.1. Der Aufbau der Matrizen sieht vor, dass die ersten N_p Spalten den Sensitivitäten bzgl. der nichtlinearen Parameter `P` aus dem `OptVar` entsprechen. Es folgen `opt%M` Spalten mit Sensitivitäten bzgl. der linearen Störungen in der Zielfunktion und `opt%M` Spalten für die konstanten Störungen in den Nebenbedingungen.

Wird vom Nutzer gewünscht, Ableitungen bzgl. des Störparameters für die Berechnungen per Reverse Communication bereitzustellen, so kann er dies über logische Parameter festlegen, die zugehörigen `UserActions` abfragen und die entsprechenden Matrizen beschreiben. Tabelle 3.2 dient als Übersicht über diese Zusammenhänge.

Ableitung	Parameter	UserAction	Matrix
$\nabla_p g$	UserZenDGp	evalZenDGp	ZenDGp
$\nabla_p L$	UserZenDLp	evalZenDLp	ZenDLp
$\nabla_{xp} L$	UserZenDLxp	evalZenDLxp	ZenDLxp

Tabelle 3.2: WORHP ZEN UserAction Zusammenhänge zwischen den zu setzenden Parametern, der abzufragenden UserAction und der zu beschreibenden Matrix

Kapitel 4

Numerische Ergebnisse

In diesem Kapitel soll die Funktionsfähigkeit und die Bedienbarkeit des WORHP ZEN Moduls demonstriert sowie die Gültigkeit der berechneten Sensitivitätsableitungen exemplarisch gezeigt werden. Ergebnisse werden dabei als gültig betrachtet, wenn sie mit einer vorher definierten Genauigkeit (1% relativer Fehler) mit den analytisch berechneten Werten übereinstimmen.

In einem ersten Beispiel wird die u.a. in FLETCHER [7] und GERDTS [10] betrachtete Funktion von ROSENBROCK als bekannte Testfunktion für NLP-Solver näher untersucht. Ein zweites Beispiel betrachtet ein diskretisiertes optimales Steuerungsproblem und ist der Website des ZETEM [9] entnommen. Es dient vor allem dem Aufzeigen des Nutzens der parametrischen Sensitivitätsanalyse in der Praxis. Hier werden die Möglichkeiten der Echtzeit-Optimierung aufgezeigt und deren Ergebnisse validiert.

Die numerischen Ergebnisse wurden unter UBUNTU PRECISE PANGOLIN (12.04 LTS) auf einem 32-Bit System mit 4 GB Arbeitsspeicher und dem INTEL CORE 2 DUO T8100 (2.10 GHz) Prozessor gewonnen. Es wurde WORHP in der Entwicklerversion 1.0-r1880 mit zusätzlichem WORHP ZEN Modul (vgl. Kapitel 3) verwendet. Die Beispiele sind jeweils in FORTRAN 95 programmiert und mit GFORTAN 4.6.3 kompiliert worden. Die von WORHP verwendeten Löser für lineare Gleichungen sind MA57 3.6 und SUPERLU 4.0.

4.1 Minimierung der Funktion von Rosenbrock

Die Funktion von ROSENBROCK ist eine bekannte Testfunktion für Optimierungsalgorithmen. Sie wurde 1960 von HOWARD H. ROSENBROCK formuliert und ist

definiert als

$$\begin{aligned} f : \mathbb{R}^2 &\longrightarrow \mathbb{R} \\ (x_1, x_2) &\longmapsto 100(x_2 - x_1^2)^2 + (1 - x_1)^2 \end{aligned}$$

Ihr eindeutig bestimmtes, globales Minimum liegt bei $x^* = (1, 1)^T$ mit $f(x^*) = 0$.

4.1.1 Problembeschreibung

In dieser Testumgebung sollen die beiden Ganzzahlwerte $(100, 1)$ in f als Parameter $p \in \mathbb{R}^2$ interpretiert werden. Darüber hinaus soll der zulässige Bereich mittels zweier Ungleichungsnebenbedingungen eingeschränkt werden um ebenfalls Sensitivitäten linearer sowie nichtlinearer Störungen in den Nebenbedingungen berechnen zu können.

Das hier betrachtete gestörte nichtlineare Optimierungsproblem lautet

$$\begin{aligned} \min_{x \in \mathbb{R}} \quad & f(x, p) = p_1(x_2 - x_1^2)^2 + (p_2 - x_1)^2 \\ \text{unter} \quad & g_1(x, p) = x_1 + x_2 + q_1 \leq 0 \\ & g_2(x, p) = -p_1 x_1^2 + x_2^2 + q_2 \leq 0 \end{aligned} \tag{4.1}$$

mit den Referenzparametern $p_0 = (100, 1)^T$ und $q_0 = (-\frac{299}{400}, -50)^T$. In Abbildung 4.1 ist der Funktionsverlauf der Funktion von ROSENBRÖCK sowie der zulässige Bereich unter Verwendung der Referenzparameter aufgezeigt.

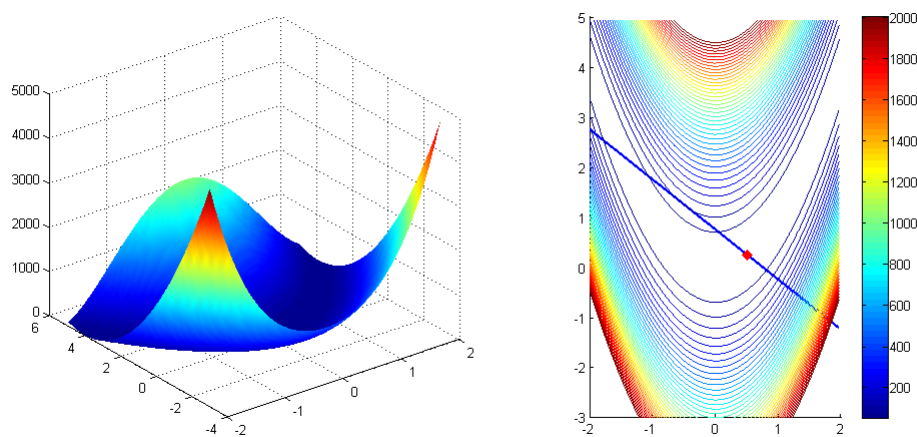


Abbildung 4.1: 3D-Plot und Höhenlinien der Funktion von Rosenbrock mit der ersten Nebenbedingung (blau, dick) und optimaler Lösung (rot, dick)

Nach Definition 2.3 sind die zulässigen Punkte bis auf die Gerade $100x_1 + x_2 = 0$ normal. Es kann jedoch leicht gezeigt werden, dass das Optimum nicht auf dieser

Geraden liegen kann. Somit folgt mit der notwendigen Optimalitätsbedingung erster Ordnung aus Satz 2.4

$$\begin{aligned} 0 &= \nabla_x L(x^*, \lambda^*, p) \\ &= \begin{pmatrix} -4p_1 x_1^* x_2^* + 4p_1 (x_1^*)^3 - 2p_2 + 2x_1^* \\ 2p_1 x_2^* - 2p_1 (x_1^*)^2 \end{pmatrix} + \lambda_1^* \begin{pmatrix} 1 \\ 1 \end{pmatrix} + \lambda_2^* \begin{pmatrix} -2p_1 x_1^* \\ 2x_2^* \end{pmatrix} \end{aligned}$$

Das auftretende Gleichungssystem kann unter Zuhilfenahme der Vorzeichen- und Komplementaritätsbedingung aus Satz 2.4 zu

$$x^* = \left(\frac{1}{2}, \frac{99}{400} \right)^T \quad \lambda^* = \left(\frac{1}{2}, 0 \right)^T$$

gelöst werden.

Mit der KKT-Matrix nach Gleichung 2.2

$$\begin{pmatrix} \nabla_x^2 L & \nabla_x g^T \\ \Delta \nabla_x g & \Gamma \end{pmatrix} = \begin{pmatrix} 203 & -200 & 1 & -100 \\ -200 & 200 & 1 & \frac{99}{200} \\ \frac{1}{2} & \frac{1}{2} & 0 & 0 \\ 0 & 0 & 0 & -\frac{1919999990199}{25600000000} \end{pmatrix}$$

und den Ableitungen

$$\begin{aligned} \nabla_{xp} L &= \begin{pmatrix} -4x_1^* x_2^* + 4x_1^{*3} + 2\lambda_2^* x_1^* & -2 \\ 2x_2^* - 2x_1^{*2} & 0 \end{pmatrix} = \begin{pmatrix} \frac{1}{200} & -2 \\ -\frac{1}{200} & 0 \end{pmatrix} \\ \nabla_p G &= \begin{pmatrix} 0 & 0 \\ -x_1^{*2} & 0 \end{pmatrix} = \begin{pmatrix} 0 & 0 \\ -\frac{1}{4} & 0 \end{pmatrix} \end{aligned}$$

können die parametrischen Sensitivitätsableitungen nach den Folgerungen aus Kapitel 2.4 bestimmt werden.

4.1.2 Auswertung

Im Folgenden findet ein Vergleich der analytisch und der von WORHP ZEN berechneten Sensitivitätsableitungen statt. Der Quellcode zu dieser Berechnung ist der Arbeit in Abschnitt C.1 angehängt. Dabei wurden die Standardparameter von WORHP verwendet. Lediglich die Skalierung des QP Problems ist deaktiviert.

In Tabelle 4.1 sind die Sensitivitäten der optimalen Lösung $(x^*, \mu^*)^T$, in Tabelle 4.2 die der Nebenbedingungen, in Tabelle 4.3 die der Zielfunktion und in Tabelle 4.4 die Sensitivitäten zweiter Ordnung der Zielfunktion aufgelistet.

Zusammengefasst liegen die relativen Fehler aller von WORHP ZEN berechneten Werte deutlich unter 1%. Die Fehler sind besonders klein bei der Sensitivitätsableitung der Zielfunktion. Dies resultiert aus der direkten Berechnung der Werte per

Sensitivität von	bzgl.	analytisch		WORHP ZEN	Fehler	
		exakt	gerundet		absolut	relativ
x_1	p_1	$-1/80300$	$-1.245330012 \cdot 10^{-5}$	$-1.245298145 \cdot 10^{-5}$	$3 \cdot 10^{-10}$	0.0026%
	p_2	$2/803$	$2.490660025 \cdot 10^{-3}$	$2.490596079 \cdot 10^{-3}$	$6 \cdot 10^{-8}$	0.0026%
	r_1	$-1/803$	$-1.245330013 \cdot 10^{-3}$	$-1.245298039 \cdot 10^{-3}$	$3 \cdot 10^{-8}$	0.0026%
	r_2	$1/803$	$1.245330013 \cdot 10^{-3}$	$1.245298035 \cdot 10^{-3}$	$3 \cdot 10^{-8}$	0.0026%
	q_1	$-400/803$	$-4.981320050 \cdot 10^{-1}$	$-4.981234967 \cdot 10^{-1}$	$9 \cdot 10^{-6}$	0.0017%
	q_2	0	0	$4.452704581 \cdot 10^{-20}$	$4 \cdot 10^{-20}$	-
x_2	p_1	$1/80300$	$1.245330012 \cdot 10^{-5}$	$1.245298145 \cdot 10^{-5}$	$3 \cdot 10^{-10}$	0.0026%
	p_2	$-2/803$	$-2.490660025 \cdot 10^{-3}$	$-2.490596071 \cdot 10^{-3}$	$6 \cdot 10^{-8}$	0.0026%
	r_1	$1/803$	$1.245330013 \cdot 10^{-3}$	$1.245298035 \cdot 10^{-3}$	$3 \cdot 10^{-8}$	0.0026%
	r_2	$-1/803$	$-1.245330013 \cdot 10^{-3}$	$-1.245298039 \cdot 10^{-3}$	$3 \cdot 10^{-8}$	0.0026%
	q_1	$-403/803$	$-5.018679950 \cdot 10^{-1}$	$-5.018765033 \cdot 10^{-1}$	$9 \cdot 10^{-6}$	0.0017%
	q_2	0	0	$-4.452704568 \cdot 10^{-20}$	$4 \cdot 10^{-20}$	-
μ_1	p_1	$3/160600$	$1.867995019 \cdot 10^{-5}$	$1.876502925 \cdot 10^{-5}$	$9 \cdot 10^{-8}$	0.4555%
	p_2	$800/803$	$9.962640100 \cdot 10^{-1}$	$9.9624699336 \cdot 10^{-1}$	$2 \cdot 10^{-5}$	0.0017%
	r_1	$-400/803$	$-4.981320050 \cdot 10^{-1}$	$-4.981234967 \cdot 10^{-1}$	$9 \cdot 10^{-6}$	0.0017%
	r_2	$-403/803$	$-5.018679950 \cdot 10^{-1}$	$-5.018765033 \cdot 10^{-1}$	$9 \cdot 10^{-6}$	0.0017%
	q_1	$600/803$	$7.471980075 \cdot 10^{-1}$	$7.488912955 \cdot 10^{-1}$	$2 \cdot 10^{-3}$	0.2266%
	q_2	0	0	$1.763485941 \cdot 10^{-17}$	$2 \cdot 10^{-17}$	-
μ_2	p_1	0	0	0	0	-
	p_2	0	0	0	0	-
	r_1	0	0	0	0	-
	r_2	0	0	0	0	-
	q_1	0	0	0	0	-
	q_2	0	0	0	0	-

Tabelle 4.1: Minimierung der Funktion von Rosenbrock: analytisch und von WORHP ZEN berechnete Sensitivitäten der optimalen Lösung

Sensitivität von	bzgl.	analytisch		WORHP ZEN	Fehler	
		exakt	gerundet		absolut	relativ
g_1	p_1	0	0	0	0	-
	p_2	0	0	0	0	-
	r_1	0	0	0	0	-
	r_2	0	0	0	0	-
	q_1	0	0	0	0	-
	q_2	0	0	0	0	-
g_2	p_1	$-4035099/16060000$	$-2.512514944 \cdot 10^{-1}$	$-2.487485391 \cdot 10^{-1}$	$3 \cdot 10^{-3}$	0.9962%
	p_2	$-20099/80300$	$-2.502988792 \cdot 10^{-1}$	$-2.502924536 \cdot 10^{-1}$	$5 \cdot 10^{-6}$	0.0026%
	r_1	$20099/160600$	$1.251494396 \cdot 10^{-1}$	$1.251462268 \cdot 10^{-1}$	$3 \cdot 10^{-6}$	0.0026%
	r_2	$-20099/160600$	$-1.251494396 \cdot 10^{-1}$	$-1.251462264 \cdot 10^{-1}$	$3 \cdot 10^{-6}$	0.0026%
	q_1	$7960103/160600$	$4.956477584 \cdot 10^1$	$4.956392093 \cdot 10^1$	$9 \cdot 10^{-4}$	0.0017%
	q_2	1	1	1	0	0.0000%

Tabelle 4.2: Minimierung der Funktion von Rosenbrock: analytisch und von WORHP ZEN berechnete Sensitivitäten der Nebenbedingungen

Sensitivität von	bzgl.	analytisch		WORHP ZEN	Fehler	
		exakt	gerundet		absolut	relativ
f	p_1	1/160000	$6.250000000 \cdot 10^{-6}$	$6.250000517 \cdot 10^{-6}$	$5 \cdot 10^{-13}$	< 0.0001%
	p_2	1	1	$9.999999974 \cdot 10^{-1}$	$6 \cdot 10^{-9}$	< 0.0001%
	r_1	1/2	$5.000000000 \cdot 10^{-1}$	$5.000000013 \cdot 10^{-1}$	$1 \cdot 10^{-9}$	< 0.0001%
	r_2	99/400	$2.4750000 \cdot 10^{-1}$	$2.475000011 \cdot 10^{-1}$	$1 \cdot 10^{-9}$	< 0.0001%
	q_1	1/2	$5.000000000 \cdot 10^{-1}$	$5.000000276 \cdot 10^{-1}$	$3 \cdot 10^{-8}$	< 0.0001%
	q_2	0	0	0	0	-

Tabelle 4.3: Minimierung der Funktion von Rosenbrock: analytisch und von WORHP ZEN berechnete Sensitivitäten der Zielfunktion

Sensitivität von	bzgl.	analytisch		WORHP ZEN	Fehler	
		exakt	gerundet		absolut	relativ
$\frac{df}{dp_1}$	p_1	-1/8030000	$-1.245330012 \cdot 10^{-7}$	$-1.245298252 \cdot 10^{-7}$	$3 \cdot 10^{-12}$	0.0026%
	p_2	1/40150	$2.490660025 \cdot 10^{-5}$	$2.490596289 \cdot 10^{-5}$	$6 \cdot 10^{-10}$	0.0026%
	r_1	-1/80300	$-1.245330012 \cdot 10^{-5}$	$-1.245298145 \cdot 10^{-5}$	$3 \cdot 10^{-10}$	0.0026%
	r_2	1/80300	$1.245330012 \cdot 10^{-5}$	$1.245298145 \cdot 10^{-5}$	$3 \cdot 10^{-10}$	0.0026%
	q_1	3/160600	$1.867995019 \cdot 10^{-5}$	$1.876502925 \cdot 10^{-5}$	$8 \cdot 10^{-8}$	0.4555%
	q_2	0	0	$4.452704958 \cdot 10^{-22}$	$4 \cdot 10^{-22}$	-
$\frac{df}{dp_2}$	p_1	1/40150	$2.490660025 \cdot 10^{-5}$	$2.490596289 \cdot 10^{-5}$	$6 \cdot 10^{-10}$	0.0026%
	p_2	-4/803	$-4.981320050 \cdot 10^3$	$-4.981192158 \cdot 10^{-3}$	$1 \cdot 10^{-7}$	0.0026%
	r_1	2/803	$2.490660025 \cdot 10^{-3}$	$2.490596079 \cdot 10^{-3}$	$6 \cdot 10^{-8}$	0.0026%
	r_2	-2/803	$-2.490660025 \cdot 10^{-3}$	$-2.490596071 \cdot 10^{-3}$	$6 \cdot 10^{-8}$	0.0026%
	q_1	800/803	$9.962640100 \cdot 10^{-1}$	$9.962469934 \cdot 10^{-1}$	$2 \cdot 10^{-5}$	0.0017%
	q_2	0	0	$-8.905409164 \cdot 10^{-20}$	$9 \cdot 10^{-20}$	-

Tabelle 4.4: Minimierung der Funktion von Rosenbrock: analytisch und von WORHP ZEN berechnete zweite Sensitivitäten der Zielfunktion (ohne Anteil der linearen Störung, da dieser Tabelle 4.1 entspricht)

finiten Differenzen der LAGRANGE-Funktion mit einer Genauigkeit von 10^{-5} im nichtlinearen Fall (vgl. Folgerung 2.13). Im linearen Fall können die von WORHP berechneten Werte der optimalen Lösung mit einer Genauigkeit von 10^{-6} übernommen werden (vgl. Abschnitt 2.4.3).

Auffällig an den Tabellen 4.1, 4.2, 4.3 und 4.4 ist die große Anzahl an Null gesetzten Werten, die allein durch die Menge der aktiven Indizes bedingt sind. Bisher ist WORHP ZEN zwar in der Lage mit dem aus Abschnitt 3.1.3 bekannten Speicherformat für dünn besetzte Matrizen zu rechnen, speichert die Null-Werte aber explizit ab. Die Matrizen der Sensitivitätsableitungen sind dicht besetzt. Mit Tabelle 4.5 wird deutlich, dass die Speicherung von 34.62% der Werte gespart werden kann.

Ein weiteres Einsparungspotenzial an Speicherbedarf bietet die zweite Sensitivitätsableitung der Zielfunktion, die bei linearen Störungen nach Abschnitt 2.4.3 der Sensitivitätsableitung der optimalen Lösung entspricht. Diese Einsparung würde 66.67% Werte (weitere 41.67%) von ZenDf2 betreffen.

	Anzahl		Proz. Anteil
	allgemein	im Beispiel	
ZenDx	$(N_g + N_h - \mathcal{I}(x^*, p_0)) \cdot N$	2	16.67%
ZenDmu	$(N_g + N_h - \mathcal{I}(x^*, p_0)) \cdot (N + N_g + N_h + N_p + \mathcal{I}(x^*, p_0))$	7	58.33%
ZenDg	$ \mathcal{I}(x^*, p_0) \cdot (N + N_g + N_h + N_p)$	6	50.00%
ZenDf	$(N_g + N_h - \mathcal{I}(x^*, p_0))$	1	16.67%
ZenDf2	$(N_g + N_h - \mathcal{I}(x^*, p_0)) \cdot (2N + 2N_p + N_g + N_h + \mathcal{I}(x^*, p_0))$	11	30.56%
gesamt		27	34.62%

Tabelle 4.5: Minimierung der Funktion von Rosenbrock: Anzahl und prozentualer Anteil an Null-Elementen in den Matrizen der Sensitivitätsableitungen

Eine Zeitmessung des WORHP ZEN Moduls findet in diesem Beispiel nicht statt, da die gesamte Ausführungszeit kleiner ist als die vom System bedingten Zeitschwankungen.

4.2 Lösung eines Optimalsteuerungsproblems

Exemplarisch für ein Optimalsteuerungsproblem wird das Splineproblem betrachtet, das auch als Minimum-Energy-Problem bekannt ist. Veranschaulichen lässt sich dieses Problem mit einem Stab in der (t, y) -Ebene, der an den Punkten $(0, 0)$ und $(1, 0)$ so befestigt ist, dass ihm eine Biegung aufgezwungen wird. Stab und t -Achse sollen sich an den Punkten mit den Winkeln 45° und -45° schneiden (vgl. linken Graphen der optimalen Lösung in Abbildung 4.2). Es ist bekannt, dass der Stab eine Form mit minimaler Biegeenergie annimmt. Zusätzlich soll die Krümmung des Stabes hier auf den Betrag 6 begrenzt werden.

4.2.1 Problembeschreibung

Mathematisch wird das Splineproblem folgendermaßen formuliert: Es werden Funktionen $x : \mathbb{R} \rightarrow \mathbb{R}^3$ und $u : \mathbb{R} \rightarrow \mathbb{R}$ gesucht, die das System von Differentialgleichungen

$$\dot{x}_1 = x_2 \quad \dot{x}_2 = u \quad \dot{x}_3 = u^2$$

mit den Anfangs- und Endwerten

$$x_1(0) = 0 \quad x_2(0) = 1 \quad x_3(0) = 0 \quad x_1(1) = 0 \quad x_2(1) = 1$$

unter Einhaltung der Einschränkung

$$u(t) \in [-6, 6] \quad \forall t \in [0, 1]$$

erfüllen und gleichzeitig $x_3(1)$ minimieren. Dabei steht $x_1(t)$ für die Position des Stabes, $x_2(t)$ für dessen Steigung und $x_3(t)$ für die bis zum Punkt t benötigte Biegeenergie. Die Steuerungsvariable u nimmt Einfluss auf die Krümmung des Stabes. Da in dieser Arbeit die rein mathematische Beschreibung des Problems im Vordergrund steht, wird im Folgenden auf Einheiten verzichtet.

Optimalsteuerungsprobleme lassen sich durch Diskretisierung in Optimierungsprobleme überführen. Mit Anwendung des Euler-Verfahrens zur approximativen Beschreibung der Differentialgleichungen lautet das als Optimierungsproblem formulierte Splineproblem dann:

$$\begin{aligned} \min_{x \in \mathbb{R}} \quad & x_3^{(N_t)} \\ \text{unter} \quad & x_1^{(i+1)} = x_1^{(i)} + hx_2^{(i)} \\ & x_2^{(i+1)} = x_2^{(i)} + hu^{(i)} \quad i = 0, \dots, N_t - 1 \\ & x_3^{(i+1)} = x_3^{(i)} + hu^{(i)2} \\ & x_1^{(0)} = 0, \quad x_2^{(0)} = 1, \quad x_3^{(0)} = 0 \\ & x_1^{(N_t)} = 0, \quad x_2^{(N_t)} = 1 \\ & u^{(i)} \leq 6 \quad u^{(i)} \geq -6 \quad i = 0, \dots, N_t \end{aligned} \tag{4.2}$$

Es wurde in 4.2 eine Diskretisierung mit $N_t + 1$ Stützstellen und einer Schrittweite von $h = \frac{1}{N_t}$ gewählt.

Details zur Theorie der Optimalsteuerungsprobleme und deren Approximation durch Optimierungsprobleme können in BÜSKENS [2] nachgelesen werden.

4.2.2 Auswertung

WORHP berechnet den Zielfunktionswert der optimalen Lösung zu $f = 12.000$. Der Verlauf der Funktionen $x(t)$ und $u(t)$ ist in Abbildung 4.2 veranschaulicht.

Im Folgenden wird die optimale Lösung gestört, mit Hilfe von WORHP ZEN eine approximierte Lösung mittels der Echtzeit-Optimierung aus Abschnitt 2.4.4 berechnet und mit den optimalen Lösung (berechnet mit WORHP) verglichen. Hintergrund ist der Wunsch, ein gestörtes, hochdimensionales Optimierungsproblem effizient lösen zu können ohne zwingend einen kompletten SQP-Prozess zu durchlaufen. Es werden folgende zwei Störungen betrachtet

$$\begin{aligned} \text{Störung 1:} \quad & x_1^{(0)} = 0 + 0.1 \\ \text{Störung 2:} \quad & x_1^{(0)} = 0 + 0.1 \quad x_3^{(0)} = 0 + 0.1 \quad x_1^{(N_t)} = 0 - 0.1 \end{aligned} \tag{4.3}$$

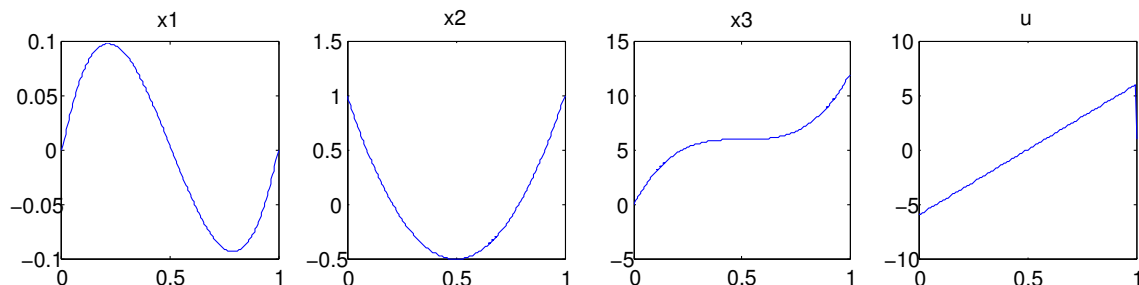


Abbildung 4.2: Splineproblem: Optimale Lösung

d.h. die Randbedingungen des Differentialgleichungssystems werden variiert. Bei den folgenden Auswertungen wird eine Diskretisierung mit 200 Stützstellen gewählt. Der Quellcode ist der Arbeit in Abschnitt C.2 angehängt.

In den Abbildungen 4.3 und 4.5 sind die Kurvenverläufe der optimalen und der durch WORHP ZEN approximierten Lösungen sowie in den Abbildungen 4.4 und 4.6 deren Differenz veranschaulicht. Zusätzlich befinden sich in den Tabellen 4.6 sowie 4.7 Auflistungen der absoluten und relativen Fehler der durch Diskretisierung entstandenen Vektoren x_1 , x_2 , x_3 und u .

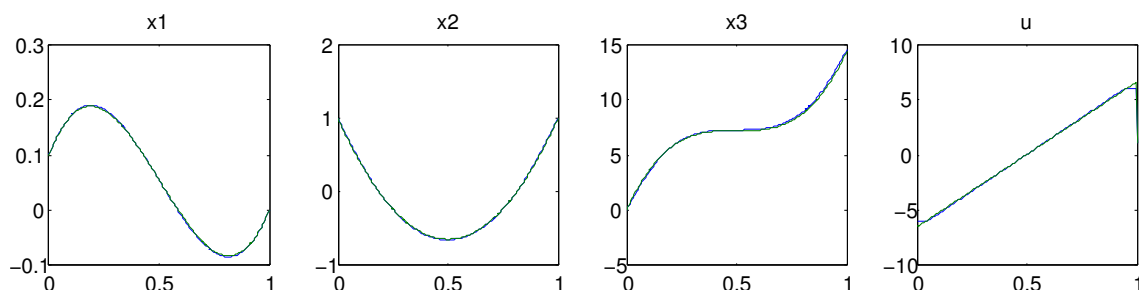


Abbildung 4.3: Splineproblem unter Einfluss von Störung 1: optimale Lösung von WORHP (blau), approximierte Lösung von WORHP ZEN (grün)

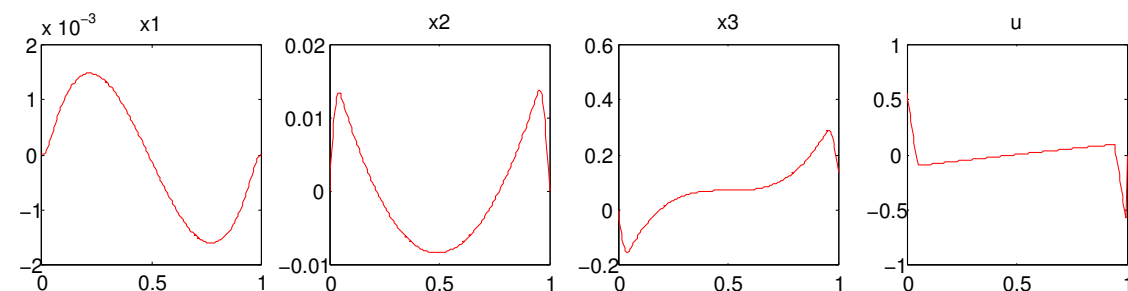


Abbildung 4.4: Approximationsfehler beim Splineproblem unter Störung 1: Jeweils Differenz der optimalen Lösung und der approximierten von WORHP ZEN

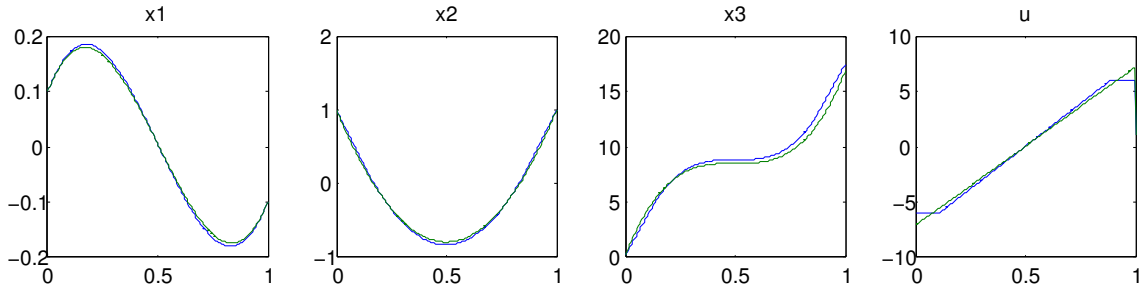


Abbildung 4.5: Splineproblem unter Einfluss von Störung 2: optimale Lösung von WORHP (blau), approximierte Lösung von WORHP ZEN (grün)

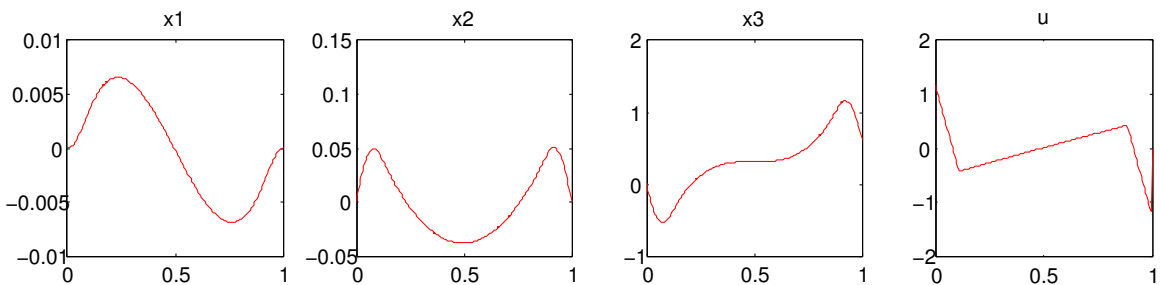


Abbildung 4.6: Approximationsfehler beim Splineproblem unter Störung 2: Jeweils Differenz der optimalen Lösung und der approximierten von WORHP ZEN

	x_1	x_2	x_3	u
absoluter Fehler	0.0155	0.1002	1.6984	1.6558
relativer Fehler	0.95%	1.38%	1.54%	3.08%

Tabelle 4.6: Normierter Fehler (in der euklidischen Norm) bei Approximation des Splineproblems durch WORHP ZEN bei Störung 1

	x_1	x_2	x_3	u
absoluter Fehler	0.0652	0.4263	7.4642	5.0873
relativer Fehler	3.32%	5.02%	5.55%	8.64%

Tabelle 4.7: Normierter Fehler (in der euklidischen Norm) bei Approximation des Splineproblems durch WORHP ZEN bei Störung 2

Die von WORHP ZEN berechnete Lösung entspricht weitestgehend der optimalen. Deutliche Unterschiede sind bei der Krümmung u sichtbar, die durch die von WORHP ZEN ignorierten Boxschränken entstehen. Dies ist ein Beispiel für die Überlegungen aus Abschnitt 2.4.3, dass die approximierte Lösung im Allgemeinen die Nebenbedingungen verletzt. Dadurch entstehen die relativen Fehler von bis zu 8.64%. KNAUER [13] beschreibt zur Minimierung dieser Fehler ein von BÜSKENS vorgeschlagenes Nachkorrekturverfahren.

	$f(p)$		$x_3^{(N_t)}(p)$	WORHP
	ohne ZenDf2	mit ZenDf2		
Störung 1	14.40036512	14.52175370	14.40035227	14.53407727
Störung 2	16.90042698	17.38635004	16.90040193	17.51007122

Tabelle 4.8: Echtzeitoptimierung des Splineproblems: WORHP ZEN Approximationen der Zielfunktion im Vergleich

	$f(p)$ ohne ZenDf2		$f(p)$ mit ZenDf2		$x_3^{(N_t)}(p)$	
	absolut	relativ	absolut	relativ	absolut	relativ
Störung 1	0.13371215	0.92%	0.012323570	0.08%	0.13372500	0.92%
Störung 2	0.60964424	3.48%	0.123721180	0.71%	0.60966929	3.48%

Tabelle 4.9: Echtzeitoptimierung des Splineproblems: Fehler der WORHP ZEN Approximationen der Zielfunktion

Insgesamt darf die gute Übereinstimmung der Kurven in den Abbildungen 4.3 und 4.5 sowie die relativ geringen Fehler als ein Indiz der Gültigkeit der Sensitivitätsableitungen von WORHP ZEN betrachtet werden. Gleichheit kann generell aufgrund der TAYLOR-Approximation nicht erwartet werden.

Besonders gute Approximationen lassen sich unter Zuhilfenahme der zweiten Sensitivitätsableitung der Zielfunktion ZenDf2 erzielen. Den Tabellen 4.8 und 4.9 ist zu entnehmen, dass dadurch die Fehler der Approximationen beider Störungen deutlich auf unter 1% verkleinert werden. Erwartungsgemäß nach Definition des Splineproblems 4.2 sind die TAYLOR-Approximation der Zielfunktion $f(p)$ und die Approximation des Elements der optimalen Lösung $x_3^{(n)}(p)$ nahezu identisch. Dies lässt auf eine ähnlich gute Qualität der Sensitivitätsableitung der optimalen Lösung und der Zielfunktion schließen.

Die Zeitmessung des Splineproblems in Abhängigkeit der Anzahl der Stützstellen (siehe Abbildung 4.7) zeigt, wie in Abschnitt 3.2.1 beschrieben, die effiziente Bestimmung der Sensitivitätsableitungen der optimalen Lösung $(x^*, \mu^*)^T$. Bei 1000 Stützstellen, d.h. 4000 Optimierungsvariablen, brauchte WORHP ZEN ca. 8 Sekunden für die Berechnung von ZenDx und ZenDmu. WORHP benötigte die doppelte Zeit um in 8 Iterationen die optimale Lösung zu finden. Abbildung 4.7 veranschaulicht jedoch auch die ineffiziente Bestimmung der restlichen Sensitivitätsableitungen. Besonders ZenDf2 und ZenDg können aufgrund der Matrixmultiplikationen in den Folgerungen 2.12 und 2.14 nur sehr aufwändig berechnet werden.

Die Echtzeit-Optimierung von WORHP ZEN benötigte für beide Störungen bei 1000 Stützstellen unter zusätzlicher Verwendung der zweiten Sensitivitätsableitung der Zielfunktion ZenDf2 ca. 4 Sekunden. Die Sparsity des Vektors $p-p_0$ wird von WORHP ZEN derzeit nicht ausgenutzt. Die Matrix-Vektor-Multiplikation für die optimale

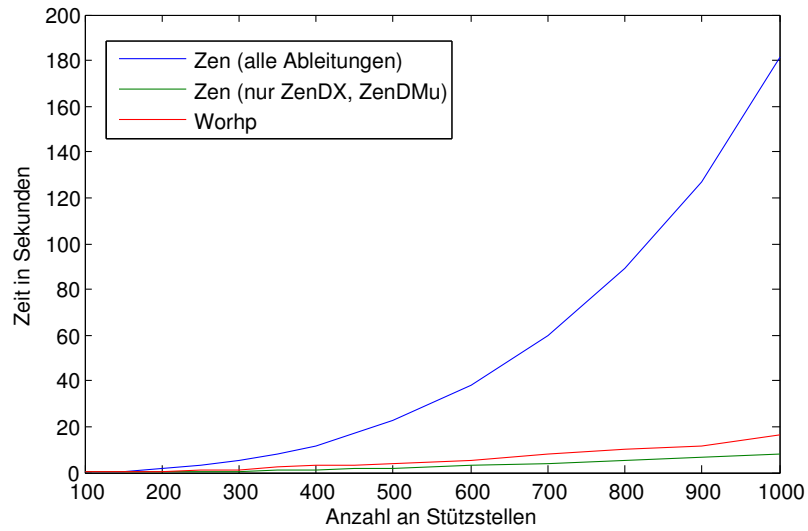


Abbildung 4.7: Zeitmessung beim Splineproblem

Lösung, bzw. Vektor-Vektor-Multiplikation für die Zielfunktion, in der TAYLOR-Approximation nach Abschnitt 2.4.4 sind bei einer Störung von 3 Werten allerdings nicht notwendig. Hier sind weitere Effizienzsteigerungen möglich.

Kapitel 5

Zusammenfassung und Ausblick

Die Zielsetzung dieser Arbeit bestand in der Entwicklung, Vorstellung und Analyse des parametrischen Sensitivitätsanalysemoduls WORHP ZEN. In Kapitel 3 wurde beschrieben, dass WORHP ZEN eine direkte Umsetzung der in Kapitel 2 dargestellten mathematischen Theorie der Optimierung ist. Kapitel 4 zeigte exemplarisch die zuverlässige Berechnung der Sensitivitäten beliebiger Störungen durch WORHP ZEN. Die ermittelten relativen Fehler der Sensitivitäten lagen alle deutlich unter 1%. Selbst bei der Approximation einer optimaler Lösung durch WORHP ZEN von leicht gestörten Systemen konnten ähnliche Fehlerwerte erzielt werden. Eine Zeitmessung belegte darüber hinaus die effiziente Berechnung der Sensitivitäten der optimalen Lösung.

Kapitel 4 zeigte demgegenüber aber auch weiteren Entwicklungsbedarf. So könnte die weitreichende Ausnutzung der Information über die Menge der aktiven Indizes signifikante Effizienzsteigerungen sowie Minimierungen des Speicherplatzbedarfes bedeuten. Derzeit werden Sensitivitäten berechnet, von denen aus den theoretischen Überlegungen im Vorhinein klar ist, dass sie den Wert Null besitzen. Außerdem sollte bei der hochdimensionalen zweiten Sensitivitätsableitung der Zielfunktion die redundante Abspeicherung der Sensitivitäten der optimalen Lösung für den linearen Fall vermieden werden.

Eine Verbesserung der Echtzeit-Optimierung von WORHP ZEN könnte durch einen zusätzlichen Nachkorrekturschritt erzielt werden.

Darüber hinaus ist eine tiefere Integration in WORHP wünschenswert damit beispielsweise das Zusammenspiel von WORHP ZEN und der Skalierung sowie dem BFGS Update Verfahren keine Fehlerwerte in den Sensitivitäten produziert. Um unnötige Code Redundanzen zu vermeiden, müssten bisher von WORHP ZEN durchgeführte Ableitungsberechnungen von dem WORHP Modul FIDIF geleistet werden und der Nachkorrekturschritt aus NIKOLAYZIK [15] Verwendung von WORHP ZEN machen.

Abgesehen von diesen kleinen Optimierungsmöglichkeiten, sind die Ergebnisse von WORHP ZEN sehr zufriedenstellend.

Anhang A

Ausgewählte Variablen und Parameter von WORHP

In diesem Anhang soll eine Auswahl der wichtigsten Variablen und Parameter von WORHP hinsichtlich der Entwicklung eines parametrischen Sensitivitätsanalysemoduls wie WORHP ZEN sowie deren Benutzung bereit gestellt werden. Das bedeutet, dass in der folgenden Übersicht insbesondere alle Variablen und Parameter vorkommen, die in den Programmcodes der Beispiele 4.1 und 4.2 vorkommen.

Variablen des Datentypes OptVar:

n [integer] ≥ 0	Dimension der Optimierungsvariable.
m [integer] ≥ 0	Anzahl der Nebenbedingungen.
F [double]	0.0 Auswertung der Zielfunktion im aktuellen Punkt x .
X [double(n)]	Optimierungsvariable des Optimierungsproblems.
XL [double(n)]	Untere Boxschränke der Optimierungsvariable.
XU [double(n)]	Obere Boxschränke der Optimierungsvariable.
G [double(m)]	Auswertung der Nebenbedingungen im aktuellen Punkt x . Dieser Vektor wird nur initialisiert, wenn $m > 0$ gilt.

GL [double(m)]	Untere Schranke für die Nebenbedingungen.
GU [double(m)]	Obere Schranke für die Nebenbedingungen.
Mu [double(m)]	LAGRANGE-Multiplikatoren für die Nebenbedingungen.

Variablen des Datentyps Workspace:

DF [WorhpMatrix]	Gradient der Zielfunktion bzgl. der Optimierungsvariable ausgewertet im aktuellen Punkt x .
DG [WorhpMatrix]	JACOBI-Matrix der Nebenbedingungen bzgl. der Optimierungsvariable ausgewertet im aktuellen Punkt x .
DL [WorhpMatrix]	Gradient der LAGRANGE-Funktion bzgl. der Optimierungsvariable ausgewertet im aktuellen Punkt x .
HM [WorhpMatrix]	HESSE-Matrix der LAGRANGE-Funktion bzgl. der Optimierungsvariable ausgewertet im aktuellen Punkt x .
ScaleObj [double] 1.0	Skalierungswert der Zielfunktion.
IWMT [size_t] 0	Integer Workspace, in dem alle temporären Variablen vom Typ <i>Integer</i> gespeichert sind.
RWMT [size_t] 0	Real Workspace, in dem alle temporären Variablen vom Typ <i>Double</i> gespeichert sind.
scalecona [rwmt_index]	Skalierungswert für die Gleichungsnebenbedingungen.
scaleconc [rwmt_index]	Skalierungswert für die Ungleichungsnebenbedingungen.

Calls [counter]	
	Zähler für die Aufrufe der Hauptschleife von WORHP .
RelaxNVar [integer]	1
	Anzahl der verwendeten Relaxierungsvariablen beim quadratischen Subproblem ¹ .

Variablen des Datentyps Control:

Timer [TimerType]	
	Timer des gesamten WORHP Prozesses mit einer Auflösung von 40ms.
UserAction [boolean(NUserAction)]	(<i>true,false,false,...</i>)
	Vektor, der angibt, welche User Action auszuführen sind. Zu den User Actions zählen u.a.:
callWorhp	Gibt an, ob die Hauptschleife von Worhp aufgerufen werden soll. Stets auf <i>true</i> .
evalF	Verlangt die Auswertung der Zielfunktion.
evalG	Verlangt die Auswertung der Nebenbedingungen.
evalDF	Verlangt die Auswertung des Gradienten der Zielfunktion.
evalDG	Verlangt die Auswertung der JACOBI-Matrix der Nebenbedingungen.
evalHM	Verlangt die Auswertung der HESSE-Matrix der LAGRANGE-Funktion.
evalZenDG	Verlangt die Auswertung der JACOBI-Matrix der Nebenbedingungen bzgl. des nichtlinearen Störparameters p .
evalZenDL	Verlangt die Auswertung der HESSE-Matrix der LAGRANGE-Funktion bzgl. x und des nichtlinearen Störparameters p .

Konstanten des Datentyps Params:

Infty [double]	$1.0e+20$
	Grenze ab der eine Schranke als unendlich betrachtet wird.
Timeout [double] > 0	300.0
	Zeitliche Begrenzung des WORHP Prozesses.

¹Genauere Informationen zur in WORHP verwendeten Relaxierung können in [17] gefunden werden

TolComp [double] > 0	<i>1.0e-6</i>
Genauigkeit für die Einhaltung der Nebenbedingungen.	
TolOpti [double] > 0	<i>1.0e-6</i>
Genauigkeit für das Erreichen der optimalen Lösung.	
MaxIter [integer] > 0	<i>500</i>
Maximale Ausführung an Iterationen um eine Endlosschleife zu verhindern.	
NLPprint [integer]	<i>2</i>
Stellt den Umfang der Ausgabe ein.	
UserDF [boolean]	<i>true</i>
Schalter um einzustellen ob die Ableitung der Zielfunktion vom User bereitgestellt wird, oder von WORHP numerisch berechnet werden soll.	
UserDG [boolean]	<i>true</i>
Schalter um einzustellen ob die JACOBI-Matrix der Nebenbedingungen vom User bereitgestellt wird, oder von WORHP numerisch berechnet werden soll.	
UserHM [boolean]	<i>true</i>
Schalter um einzustellen ob die HESSE-Matrix der LAGRANGE-Funktion vom User bereitgestellt wird, oder von WORHP numerisch berechnet werden soll.	

Anhang B

Variablen und Parameter von WORHP ZEN

In diesem Anhang werden alle zum WORHP ZEN Modul gehörenden Variablen und Parameter aufgelistet und ihre Funktion erläutert.

Variablen im Datentype OptVar:

- `k [integer] ≥ 0`
Dimension des nichtlinearen Störparameter p .
- `P [double(k)]`
Referenzparameter der nichtlinearen Störung p .

Variablen im Datentyp Workspace:

- `ZenDX [WorhpMatrix]`
Sensitivitätsableitung der optimalen Lösung x^* .
- `ZenDMu [WorhpMatrix]`
Sensitivitätsableitung der LAGRANGE-Multiplikatoren in der optimalen Lösung.
- `ZenDF [WorhpMatrix]`
Sensitivitätsableitung der Zielfunktion.
- `ZenDF2 [WorhpMatrix]`
Zweite Sensitivitätsableitung der Zielfunktion.

ZenDG [WorhpMatrix]	Sensitivitätsableitung der Nebenbedingungen.
ZenDGp [WorhpMatrix]	Ableitung der Nebenbedingungen nach dem nichtlinearen Störparameter p . Diese kann vom User bereit gestellt werden.
ZenDLp [WorhpMatrix]	Ableitung der LAGRANGE-Funktion nach dem nichtlinearen Störparameter p . Diese kann vom User bereit gestellt werden.
ZenDLxp [WorhpMatrix]	HESSE-Matrix der LAGRANGE-Funktion nach x und dem nichtlinearen Störparameter p . Diese kann vom User bereit gestellt werden.
ZenPRQ [rwmt_index]	Vektor, der die nichtlinearen Störparameter mit den linearen und konstanten in der Form $(p^T, r^T, q^T)^T$ vereint. Wird für die Echtzeit-Optimierung von WORHP ZEN benötigt.

Variablen im Datentyp Control:

ZenRCcounter1 [counter]	Counter um die Reverse Communication zu handhaben. Der Counter 1 ist dafür zuständig innerhalb der Post-Optimalitätsanalyse zwischen den möglichen Punkten Initialisierung, Berechnung von Ableitungen und Ermittlung der Sensitivitätsableitungen zu unterscheiden.
ZenRCcounter2 [counter]	Counter um die Reverse Communication zu handhaben. Der Counter 2 kommt bei der Finiten Differenzen Methode zum Einsatz.

Konstanten im Datentyp Params:

UserZenDGp [boolean]	<i>true</i> Schalter um einzustellen ob die Ableitung der Nebenbedingungen nach der nichtlinearen Störung p vom User bereit gestellt wird, oder von WORHP ZEN per Finiten Differenzen berechnet werden muss.
UserZenDLp [boolean]	<i>true</i> Schalter um einzustellen ob die Ableitung der LAGRANGE-Funktion nach der nichtlinearen Störung p vom User bereit gestellt wird, oder von WORHP ZEN per Finiten Differenzen berechnet werden muss.

<code>UserZenDLxp [boolean]</code>	<i>true</i>
Schalter um einzustellen ob die HESSE-Matrix der LAGRANGE-Funktion nach x und der nichtlinearen Störung p vom User bereit gestellt wird, oder von WORHP ZEN per Finiter Differenzen berechnet werden muss.		
<code>ZenDxDmu [boolean]</code>	<i>true</i>
Schalter um die Berechnung der Sensitivitätsableitung der optimalen Lösung ein-/auszuschalten.		
<code>ZenDf [boolean]</code>	<i>true</i>
Schalter um die Berechnung der Sensitivitätsableitung der Zielfunktion ein-/auszuschalten.		
<code>ZenDf2 [boolean]</code>	<i>true</i>
Schalter um die Berechnung der zweiten Sensitivitätsableitung der Zielfunktion ein-/auszuschalten.		
<code>ZenDg [boolean]</code>	<i>true</i>
Schalter um die Berechnung der Sensitivitätsableitung der Nebenbedingungen ein-/auszuschalten.		

Anhang C

Quelltexte

C.1 Minimierung der Funktion von Rosenbrock

In diesem Abschnitt kann der Quelltext für die Berechnung der Minimierung der Funktion von Rosenbrock nach Abschnitt 4.1 nachgeschlagen werden. Es wurden bis auf Ausschalten der Skalierung die WORHP Standardparameter verwendet. Darüber hinaus wurden die Ableitungen `ZenDGp`, `ZenDLp` sowie `ZenDLxp` mittels Finiter Differenzen berechnet und nicht vom User bereitgestellt. Dies könnte aber in analoger Form zur Bereitsstellung der HESSE-Matrix oder dem Gradienten der Zielfunktion geschehen.

Listing C.1: Minimierung der Funktion von Rosenbrock

```
1  !-----  
2  !  
3  ! Minimize Rosenbrock's Function  
4  !  
5  ! Subject to two constraints changing the usual  
6  ! optimal solution to (1/2, 99/400). Afterwards  
7  ! a sensitivity analysis will be performed by  
8  ! WORHP ZEN.  
9  !  
10 ! @author Renke Schaefer  
11 !-----  
12 PROGRAM Main  
13  
14 ! WORHP workspace access macros  
15 #include "../core/macros.h"  
16  
17 ! WORHP user interface module  
18 USE Worhp_User  
19  
20 ! WORHP data structures
```

```

21  IMPLICIT NONE
22  TYPE (OptVar)          :: opt
23  TYPE (Workspace)     :: wsp
24  TYPE (Params)        :: par
25  TYPE (Control)       :: cnt
26
27  INTEGER(WORHP_INT)   :: status
28
29  ! Data structure pointers
30  REAL(WORHP_DOUBLE), DIMENSION(:), POINTER :: X, XL, XU, Lambda
31  REAL(WORHP_DOUBLE), DIMENSION(:), POINTER :: G, GL, GU, Mu
32  REAL(WORHP_DOUBLE), DIMENSION(:), POINTER :: P
33
34  ! Matrix pointers
35  REAL(WORHP_DOUBLE), DIMENSION(:), POINTER :: DFval, DGval, HMval
36  INTEGER(WORHP_INT), DIMENSION(:), POINTER :: HMrow, HMcol
37
38  ! Dimensions of variables, constraints and perturbation
39  opt%N = 2
40  opt%M = 2
41  opt%K = 2
42
43  ! WORHP parameters
44  CALL InitParams(status, par)
45  par%NLPprint = 2
46  par%UserDF = TRUE
47  par%UserDG = TRUE
48  par%UserHM = TRUE
49  par%UserZenDGp = FALSE
50  par%UserZenDLxp = FALSE
51  par%UserZenDLp = FALSE
52  par%ScaledQP = TRUE
53  par%ZenDxDMu = TRUE
54  par%ZenDf = TRUE
55  par%ZenDf2 = TRUE
56  par%ZenDg = TRUE
57  par%ZenFullStorage = TRUE
58
59  wsp%DF%nnz = WorhpMatrix_Init_Dense
60  wsp%DG%nnz = WorhpMatrix_Init_Dense
61  wsp%HM%nnz = WorhpMatrix_Init_Dense
62
63  ! WORHP data structure initialisation routine.
64  CALL WorhpInit(opt, wsp, par, cnt)
65  IF (cnt%status /= FirstCall) THEN
66     PRINT *, "example: Initialisation failed."
67     STOP
68  END IF
69
70  ! For C interoperability, some arrays have to be C-pointers.

```

```

71  ! Convert them to Fortran pointers to access them (after
      WorhpInit)
      CALL C_F_POINTER(opt%X,      X,      [opt%N])
73  CALL C_F_POINTER(opt%XL,      XL,      [opt%N])
      CALL C_F_POINTER(opt%XU,      XU,      [opt%N])
75  CALL C_F_POINTER(opt%Lambda, Lambda, [opt%N])

77  CALL C_F_POINTER(opt%G,      G,      [opt%M])
      CALL C_F_POINTER(opt%GL,      GL,      [opt%M])
79  CALL C_F_POINTER(opt%GU,      GU,      [opt%M])
      CALL C_F_POINTER(opt%Mu,      Mu,      [opt%M])
81

      CALL C_F_POINTER(opt%P,      P,      [opt%K])
83

      CALL C_F_POINTER(wsp%DF%val,  DFval,  [wsp%DF%nnz])
85  CALL C_F_POINTER(wsp%DG%val,  DGval,  [wsp%DG%nnz])
      CALL C_F_POINTER(wsp%HM%val,  HMval,  [wsp%HM%nnz])
87

      ! Initial guess for X, Lambda and Mu
89  X      = TWO
      Lambda = ZERO
91  Mu      = ZERO

93  ! Reference value for perturbation
      P      = [100*ONE, ONE]
95

      ! Set lower and upper bounds for variables and constraints
97  XL = -par%Infty
      XU = +par%Infty
99  GL = -par%Infty
      GU = ZERO
101

      ! WORHP Reverse Communication loop.
103 DO WHILE (cnt%status < terminateSuccess .AND. cnt%status >
      terminateError)

105     ! WORHP's main routine.
      IF (GetUserAction(cnt, callWorhp)) THEN
107         CALL Worhp(opt, wsp, par, cnt)
      END IF

109     ! Show iteration output.
      IF (GetUserAction(cnt, iterOutput)) THEN
111         CALL IterationOutput(opt, wsp, par, cnt)
113         CALL DoneUserAction(cnt, iterOutput)
      ENDIF

115     ! Evaluate the objective function.
117     IF (GetUserAction(cnt, evalF)) THEN
      CALL UserF(opt, wsp, par, cnt)

```

```
119     CALL DoneUserAction(cnt, evalF)
120     ENDIF
121
122     ! Evaluate the constraints.
123     IF (GetUserAction(cnt, evalG)) THEN
124         CALL UserG(opt, wsp, par, cnt)
125         CALL DoneUserAction(cnt, evalG)
126     ENDIF
127
128     ! Evaluate the gradient of the objective function.
129     IF (GetUserAction(cnt, evalDF)) THEN
130         CALL UserDF(opt, wsp, par, cnt)
131         CALL DoneUserAction(cnt, evalDF)
132     ENDIF
133
134     ! Evaluate the Jacobian of the constraints.
135     IF (GetUserAction(cnt, evalDG)) THEN
136         CALL UserDG(opt, wsp, par, cnt)
137         CALL DoneUserAction(cnt, evalDG)
138     ENDIF
139
140     ! Evaluate the Hessian matrix of the Lagrange function (L = f
141     + mu*g)
142     IF (GetUserAction(cnt, evalHM)) THEN
143         CALL UserHM(opt, wsp, par, cnt)
144         CALL DoneUserAction(cnt, evalHM)
145     ENDIF
146
147     ! Use finite differences with RC to determine derivatives
148     IF (GetUserAction(cnt, fidif)) THEN
149         CALL WorhpFidif(opt, wsp, par, cnt)
150     ENDIF
151     END DO
152
153     ! Translate the WORHP status flag into a meaningful message.
154     CALL StatusMsg(opt, wsp, par, cnt)
155
156     CALL ZenStatusMsg(opt, wsp, par, cnt)
157
158     PRINT *, ''
159     PRINT *, 'Optimal solution: '
160     PRINT *, 'X: ', X
161     PRINT *, 'Mu: ', Mu
162
163     !CALL PrintWorhpMatrix(wsp%ZenDX)
164     !CALL PrintWorhpMatrix(wsp%ZenDMu)
165
166     ! Deallocate all data structures.
167     CALL WorhpFree(opt, wsp, par, cnt)
```

```
169 CONTAINS
171 ! Update F
SUBROUTINE UserF(opt, wsp, par, cnt)
173   IMPLICIT NONE
   TYPE (OptVar)      :: opt
175   TYPE (Workspace)  :: wsp
   TYPE (Params)      :: par
177   TYPE (Control)    :: cnt
   INTENT (INOUT)     :: opt, wsp
179   INTENT (IN)       :: par, cnt
   opt%F = wsp%ScaleObj * (P(1) * (X(2) - X(1)**2)**2 + (P(2) - X
   (1))**2)
181 END SUBROUTINE UserF

183 ! Update G
SUBROUTINE UserG(opt, wsp, par, cnt)
185   IMPLICIT NONE
   TYPE (OptVar)      :: opt
187   TYPE (Workspace)  :: wsp
   TYPE (Params)      :: par
189   TYPE (Control)    :: cnt
   INTENT (INOUT)     :: opt, wsp
191   INTENT (IN)       :: par, cnt
   G = [X(1) + X(2) - 299.0/400.0, -P(1)*X(1)**2 + X(2)**2 - 50]
193 END SUBROUTINE UserG

195 ! Update DF
SUBROUTINE UserDF(opt, wsp, par, cnt)
197   IMPLICIT NONE
   TYPE (OptVar)      :: opt
199   TYPE (Workspace)  :: wsp
   TYPE (Params)      :: par
201   TYPE (Control)    :: cnt
   INTENT (INOUT)     :: opt, wsp
203   INTENT (IN)       :: par, cnt
   DFval = wsp%ScaleObj * [-4*P(1)*X(1)*X(2)+4*P(1)*X(1)**3-2*P(2)
   +2*X(1), 2*P(1)*X(2)-2*P(1)*X(1)**2]
205 END SUBROUTINE UserDF

207 ! Update DG
SUBROUTINE UserDG(opt, wsp, par, cnt)
209   IMPLICIT NONE
   TYPE (OptVar)      :: opt
211   TYPE (Workspace)  :: wsp
   TYPE (Params)      :: par
213   TYPE (Control)    :: cnt
   INTENT (INOUT)     :: opt, wsp
215   INTENT (IN)       :: par, cnt
```

```

    DGval = [ONE, -2*P(1)*X(1), ONE, 2*X(2)]
217  END SUBROUTINE UserDG

219  ! Update HM
SUBROUTINE UserHM(opt, wsp, par, cnt)
221  IMPLICIT NONE
    TYPE (OptVar)      :: opt
223  TYPE (Workspace)   :: wsp
    TYPE (Params)      :: par
225  TYPE (Control)     :: cnt
    INTENT (INOUT)     :: opt, wsp
227  INTENT (IN)        :: par, cnt

229  ! HMval may be reallocated during first WORHP call
CALL C_F_POINTER(wsp%HM%val, HMval, [wsp%HM%nnz])

231  ! Only scale the F part of HM
233  HMval = [-wsp%ScaleObj*4*P(1)*X(1), wsp%ScaleObj*(-4*P(1)*X(2)
    +12*P(1)*X(1)**2+2)-2*Mu(2)*P(1), wsp%ScaleObj*2*P(1) + 2*Mu
    (2)]
    END SUBROUTINE UserHM
235  END PROGRAM Main

```

C.2 Lösung eines Optimalsteuerungsproblems

In diesem Abschnitt befindet sich der Quelltext für die Berechnung des Splineproblems aus Abschnitt 4.2. Bis auf das Ausschalten der Skalierung wurden die Standardparameter von WORHP verwendet. Die Ableitungen ZenDGp, ZenDLp sowie ZenDLxp wurden analog zum Optimierungsproblem in Abschnitt C.1 per Finite Differenzen berechnet.

Listing C.2: Lösung eines Optimalsteuerungsproblems

```

!-----
2  !
! Optimal Control Problem
4  !
! The Spline Problem or Minimum Energy Problem
6  ! is implemented. After performing a sensitivity
8  ! analysis perturbed systems will be approximated
! by WORHP ZEN.
!
10 ! @author Renke Schaefer
!-----
12 PROGRAM Main

```

```

14 ! WORHP workspace access macros
   #include "../core/macros.h"
16
   ! WORHP user interface module
18 USE Worhp_User
20
   ! WORHP data structures
   IMPLICIT NONE
22 TYPE (OptVar)           :: opt
   TYPE (Workspace)      :: wsp
24 TYPE (Params)          :: par
   TYPE (Control)        :: cnt
26
   INTEGER(WORHP_INT)    :: status, Nt, i
28 REAL(WORHP_DOUBLE)    :: h
30
   ! Data structure pointers
   REAL(WORHP_DOUBLE), POINTER :: Fnew
32 REAL(WORHP_DOUBLE), DIMENSION(:), POINTER :: X, XL, XU, Lambda
   REAL(WORHP_DOUBLE), DIMENSION(:), POINTER :: G, GL, GU, Mu
34 REAL(WORHP_DOUBLE), DIMENSION(:), POINTER :: P, Q, R, Xnew, Munew
36
   ! Matrix pointers
   REAL(WORHP_DOUBLE), DIMENSION(:), POINTER :: DFval, HMval
38 REAL(WORHP_DOUBLE), DIMENSION(:,:), POINTER :: DGval
   INTEGER(WORHP_INT), DIMENSION(:), POINTER :: HMrow, HMcol
40
   ! Specifications for the discretization
42 Nt = 200
   h = ONE/(Nt - 1)
44
   ! Dimensions of variables, constraints and perturbation
46 opt%N = 4 * Nt
   opt%M = 3 * (Nt-1) +5
48
   ! WORHP parameters
50 CALL InitParams(status, par)
   par%NLPrint      = 2
52 par%ScaledQP      = TRUE
   par%ScaledObj     = FALSE
54 par%UserDF        = TRUE
   par%UserDG        = TRUE
56 par%UserHM        = TRUE
   par%UserZenDGp    = FALSE
58 par%UserZenDLxp   = FALSE
   par%UserZenDLp    = FALSE
60 par%ZenDxDMu      = TRUE
   par%ZenDf         = TRUE
62 par%ZenDf2        = TRUE
   par%ZenDg         = TRUE

```

```

64   par%ZenFullStorage = FALSE

66   wsp%DF%nnz = WorhpMatrix_Init_Dense
68   wsp%DG%nnz = WorhpMatrix_Init_Dense
70   wsp%HM%nnz = opt%N

72   ! WORHP data structure initialisation routine.
74   CALL WorhpInit(opt, wsp, par, cnt)
76   IF (cnt%status /= FirstCall) THEN
78     PRINT *, "example: Initialisation failed."
80     STOP
82   END IF

84   ! For C interoperability, some arrays have to be C-pointers.
86   ! Convert them to Fortran pointers to access them (after
88   !   WorhpInit)
90   CALL C_F_POINTER(opt%X,      X,      [opt%N])
92   CALL C_F_POINTER(opt%XL,    XL,     [opt%N])
94   CALL C_F_POINTER(opt%XU,    XU,     [opt%N])
96   CALL C_F_POINTER(opt%Lambda, Lambda, [opt%N])

98   CALL C_F_POINTER(opt%G,      G,      [opt%M])
100  CALL C_F_POINTER(opt%GL,     GL,     [opt%M])
102  CALL C_F_POINTER(opt%GU,     GU,     [opt%M])
104  CALL C_F_POINTER(opt%Mu,     Mu,     [opt%M])

106  CALL C_F_POINTER(opt%P,      P,      [opt%K])

108  CALL C_F_POINTER(wsp%DF%val,  DFval,  [wsp%DF%nnz])
110  CALL C_F_POINTER(wsp%DG%val,  DGval,  [3*(Nt-1)+5,4*Nt])
112  CALL C_F_POINTER(wsp%HM%val,  HMval,  [wsp%HM%nnz])

! Initial guess for X, Lambda and Mu
X      = ONE
Lambda = ZERO
Mu     = ZERO

! Set lower and upper bounds for variables and constraints
XL = -par%Infty
XU = +par%Infty
DO i = 1, Nt
  XL(4*i) = -6*ONE
  XU(4*i) = 6*ONE
END DO
GL = ZERO
GU = ZERO

! Define HM as diagonal
IF (wsp%HM%NeedStructure) THEN
  CALL C_F_POINTER(wsp%HM%row, HMrow, [wsp%HM%nnz])

```

```
CALL C_F_POINTER(wsp%HM%col, HMcol, [wsp%HM%nnz])
114 DO i = 1,opt%N
      HMrow(i) = i
116      HMcol(i) = i
      END DO
118 END IF

120 ! WORHP Reverse Communication loop.
DO WHILE (cnt%status < terminateSuccess .AND. cnt%status >
      terminateError)

122      ! WORHP's main routine.
124      IF (GetUserAction(cnt, callWorhp)) THEN
            CALL Worhp(opt, wsp, par, cnt)
126      END IF

128      ! Show iteration output.
      IF (GetUserAction(cnt, iterOutput)) THEN
130          CALL IterationOutput(opt, wsp, par, cnt)
            CALL DoneUserAction(cnt, iterOutput)
132      ENDIF

134      ! Evaluate the objective function.
      IF (GetUserAction(cnt, evalF)) THEN
136          CALL UserF(opt, wsp, par, cnt)
            CALL DoneUserAction(cnt, evalF)
138      ENDIF

140      ! Evaluate the constraints.
      IF (GetUserAction(cnt, evalG)) THEN
142          CALL UserG(opt, wsp, par, cnt)
            CALL DoneUserAction(cnt, evalG)
144      ENDIF

146      ! Evaluate the gradient of the objective function.
      IF (GetUserAction(cnt, evalDF)) THEN
148          CALL UserDF(opt, wsp, par, cnt)
            CALL DoneUserAction(cnt, evalDF)
150      ENDIF

152      ! Evaluate the Jacobian of the constraints.
      IF (GetUserAction(cnt, evalDG)) THEN
154          CALL UserDG(opt, wsp, par, cnt)
            CALL DoneUserAction(cnt, evalDG)
156      ENDIF

158      ! Evaluate the Hessian matrix of the Lagrange function (L = f
            + mu*g)
160      IF (GetUserAction(cnt, evalHM)) THEN
            CALL UserHM(opt, wsp, par, cnt)
```

```

        CALL DoneUserAction(cnt, evalHM)
162    ENDIF

164    ! Use finite differences with RC to determine derivatives
    IF (GetUserAction(cnt, fidif)) THEN
166        CALL WorhpFidif(opt, wsp, par, cnt)
    ENDIF
168 END DO

170 ! Translate the WORHP status flag into a meaningful message.
CALL StatusMsg(opt, wsp, par, cnt)
172

CALL ZenStatusMsg(opt, wsp, par, cnt)
174

!PRINT *, ' '
176

! write results of optimal solution to file
178 OPEN(20, file='./bsc3_optimalSolution.txt', iostat=status, status
    = 'replace', action='write')
IF (status == 0) THEN
180     WRITE(20,*) '#, x1, x2, x3, u'
    DO i = 0, Nt-1
182         WRITE (20,*) i+1, ', ', X(4*i+1), ', ', X(4*i+2), ', ', X(4*i
            +3), ', ', X(4*i+4)
    END DO
184     !PRINT *, 'write results to file: OK'
END IF
186 CLOSE(20)

188 ! perturb the system and approximate optimal solution using
! WORHP ZEN.
190 PRINT *, ' '
PRINT *, 'Update Solution using Wohrp Zen: '
192 PRINT *, 'Disturb Q(3*(Nt-1)+1)'
ALLOCATE(R(4 * Nt))
194 ALLOCATE(Q(3 * (Nt-1) + 5))
ALLOCATE(Xnew(4 * Nt))
196 ALLOCATE(Munew(3 * (Nt-1) + 5))
ALLOCATE(Fnew)
198 R = ZERO
Q = ZERO
200 Q(3*(Nt-1)+1) = -ONE/10
CALL ZenUpdateSolution(opt, wsp, par, cnt, deltaQ = Q, Xnew =
    Xnew, Fnew = Fnew, order = 2)
202 PRINT *, 'new objective function: ', Fnew

204 ! write results of approximated optimal solution to file
OPEN(20, file='./bsc3_x10m_zen.txt', iostat=status, status='
    replace', action='write')
206 IF (status == 0) THEN

```

```

208 WRITE(20,*) '#, x1, x2, x3, u'
DO i = 0, Nt-1
  WRITE (20,*) i+1, ', ', Xnew(4*i+1), ', ', Xnew(4*i+2), ', ',
    Xnew(4*i+3), ', ', Xnew(4*i+4)
210 END DO
  PRINT *, 'write results to file: OK'
212 END IF
CLOSE(20)
214
! perturb the system and approximate optimal solution using
216 ! WORHP ZEN.
PRINT *, ' '
218 PRINT *, 'Disturb Q(3*(Nt-1)+1), Q(3*(Nt-1)+3), Q(3*(Nt-1)+4)'
R = ZERO
220 Q = ZERO
Q(3*(Nt-1)+1) = -ONE/10
222 Q(3*(Nt-1)+3) = -ONE/10
Q(3*(Nt-1)+4) = ONE/10
224 CALL ZenUpdateSolution(opt, wsp, par, cnt, deltaQ = Q, Xnew =
  Xnew, Fnew = Fnew, order = 2)
PRINT *, 'new objective function: ', Fnew
226
! write results of approximated optimal solution to file
228 OPEN(20, file='./bsc3_x10m_x30_x1nt_zen.txt', iostat=status,
  status='replace', action='write')
IF (status == 0) THEN
230 WRITE(20,*) '#, x1, x2, x3, u'
DO i = 0, Nt-1
232 WRITE (20,*) i+1, ', ', Xnew(4*i+1), ', ', Xnew(4*i+2), ', ',
  Xnew(4*i+3), ', ', Xnew(4*i+4)
  END DO
234 PRINT *, 'write results to file: OK'
END IF
236 CLOSE(20)
238
! Deallocate all data structures.
CALL WorhpFree(opt, wsp, par, cnt)
240
242 CONTAINS
244 ! Update F
SUBROUTINE UserF(opt, wsp, par, cnt)
246 IMPLICIT NONE
TYPE (OptVar) :: opt
248 TYPE (Workspace) :: wsp
TYPE (Params) :: par
250 TYPE (Control) :: cnt
INTENT (INOUT) :: opt, wsp
252 INTENT (IN) :: par, cnt

```

```

    opt%F = wsp%ScaleObj * X(4*(Nt-1)+3)
254  END SUBROUTINE UserF

256  ! Update G
SUBROUTINE UserG(opt, wsp, par, cnt)
258  IMPLICIT NONE
    TYPE (OptVar)      :: opt
260  TYPE (Workspace)   :: wsp
    TYPE (Params)      :: par
262  TYPE (Control)     :: cnt
    INTENT (INOUT)     :: opt, wsp
264  INTENT (IN)        :: par, cnt

266  DO i = 0, Nt-2
    G(3*i+1) = -X(4*(i+1)+1) + X(4*i+1) + h*X(4*i+2)
268  G(3*i+2) = -X(4*(i+1)+2) + X(4*i+2) + h*X(4*i+4)
    G(3*i+3) = -X(4*(i+1)+3) + X(4*i+3) + h*X(4*i+4)**2
270  END DO
    G(3*(Nt-1)+1) = X(1)
272  G(3*(Nt-1)+2) = X(2) - 1
    G(3*(Nt-1)+3) = X(3)
274  G(3*(Nt-1)+4) = X(4*(Nt-1)+1)
    G(3*(Nt-1)+5) = X(4*(Nt-1)+2) - 1
276  END SUBROUTINE UserG

278  ! Update DF
SUBROUTINE UserDF(opt, wsp, par, cnt)
280  IMPLICIT NONE
    TYPE (OptVar)      :: opt
282  TYPE (Workspace)   :: wsp
    TYPE (Params)      :: par
284  TYPE (Control)     :: cnt
    INTENT (INOUT)     :: opt, wsp
286  INTENT (IN)        :: par, cnt

288  DFval = ZERO
    DFval(4*(Nt-1)+3) = wsp%ScaleObj
290  END SUBROUTINE UserDF

292  ! Update DG
SUBROUTINE UserDG(opt, wsp, par, cnt)
294  IMPLICIT NONE
    TYPE (OptVar)      :: opt
296  TYPE (Workspace)   :: wsp
    TYPE (Params)      :: par
298  TYPE (Control)     :: cnt
    INTENT (INOUT)     :: opt, wsp
300  INTENT (IN)        :: par, cnt

302  DGval = ZERO

```

```

304     DO i = 0,Nt-2
        DGval(3*i+1,4*i+1)      = ONE
        DGval(3*i+1,4*(i+1)+1) = -ONE
306     DGval(3*i+1,4*i+2)      = h
        DGval(3*i+2,4*i+2)      = ONE
308     DGval(3*i+2,4*(i+1)+2) = -ONE
        DGval(3*i+2,4*i+4)      = h
310     DGval(3*i+3,4*i+3)      = ONE
        DGval(3*i+3,4*(i+1)+3) = -ONE
312     DGval(3*i+3,4*i+4)      = TWO*h*X(4*i+4)
    END DO
314     DGval(3*(Nt-1)+1,1) = ONE
        DGval(3*(Nt-1)+2,2) = ONE
316     DGval(3*(Nt-1)+3,3) = ONE
        DGval(3*(Nt-1)+4,4*(Nt-1)+1) = ONE
318     DGval(3*(Nt-1)+5,4*(Nt-1)+2) = ONE
    END SUBROUTINE UserDG
320
    ! Update HM
322     SUBROUTINE UserHM(opt, wsp, par, cnt)
        IMPLICIT NONE
324     TYPE (OptVar)      :: opt
        TYPE (Workspace) :: wsp
326     TYPE (Params)     :: par
        TYPE (Control)  :: cnt
328     INTENT (INOUT)    :: opt, wsp
        INTENT (IN)     :: par, cnt
330
        ! HMval may be reallocated during first WORHP call
332     CALL C_F_POINTER(wsp%HM%val, HMval, [wsp%HM%nnz])
334
        HMval = ZERO
        DO i = 0,Nt-2
336             HMval(4*i+4) = Mu(3*i+3)*TWO*h
        END DO
338     END SUBROUTINE UserHM
340 END PROGRAM Main

```


Literaturverzeichnis

- [1] A. Antoniou and W.-S. Lu. *Practical optimization: algorithms and engineering applications*. Springer, New York, 2007.
- [2] C. Büskens. *Optimierungsmethoden und Sensitivitätsanalyse für optimale Steuerprozesse mit Steuer- und Zustands-Beschränkungen*. Dissertation, Münster, 1998.
- [3] C. Büskens. *Numerische Mathematik I*. Universität Bremen, 2004. Vorlesungsskript.
- [4] C. Büskens, T. Nikolayzik, and M. Gerdt. *Nonlinear large-scale Optimization with WORHP*. Berichte aus der Technomathematik 10-08, Zentrum für Technomathematik, Universität Bremen, 2010.
- [5] C. Büskens, T. Nikolayzik, and D. Wassel. *Interface Control Document*. Berichte aus der Technomathematik 08-01, Zentrum für Technomathematik, Universität Bremen, 2008.
- [6] C. Büskens, T. Nikolayzik, D. Wassel, and P. Kalmbach. *Solver Development Strategy*. Berichte aus der Technomathematik 08-02, Zentrum für Technomathematik, Universität Bremen, 2008.
- [7] R. Fletcher. *Practical methods of optimization*. A Wiley-Interscience publication. Wiley, Chichester [u.a.], 2. ed., reprinted edition, 1999.
- [8] O. Forster. *Analysis 2: Differentialrechnung im \mathbb{R}^n , gewöhnliche Differentialgleichungen*. Vieweg-Studium, Grundkurs Mathematik. Vieweg, Wiesbaden, 7., verb. Aufl. edition, 2006.
- [9] Zentrum für Technomathematik (ZeTeM). *Steuerungs-Lab*. <http://www.math.uni-bremen.de/zetem/o2c/steuerung>, Juni 2012.
- [10] M. Gerdt. *Optimierung*. University of Birmingham, 2008. Vorlesungsskript.
- [11] M. Gerdt. *User's Guide QP Solver*. Universität der Bundeswehr München, 2011.

- [12] D. Jungnickel. *Optimierungsmethoden: eine Einführung*. Springer-Lehrbuch. Springer, Berlin [u.a.], 2. Aufl. edition, 2008.
- [13] M. Knauer. *Sensitivitätsanalyse verschiedener Gütekriterien bei der optimalen Bahnplanung von Industrierobotern*. Diplomarbeit, Bayreuth, 2001.
- [14] H. W. Kuhn and A. W. Tucker. Nonlinear programming. In *Proceedings of the Second Berkeley Symposium on Mathematical Statistics and Probability, 1950*, pages 481 – 492, Berkeley and Los Angeles, 1951. University of California Press.
- [15] T. Nikolayzik. *Korrekturverfahren zur numerischen Lösung nichtlinearer Optimierungsprobleme mittels Methoden der parametrischen Sensitivitätsanalyse*. PhD thesis, 2012.
- [16] P. Spellucci. *Numerische Verfahren der nichtlinearen Optimierung*. Internationale Schriftenreihe zur numerischen Mathematik, Lehrbuch. Birkhäuser, Basel [u.a.], 1993.
- [17] Steinbeis Forschungszentrum Optimierung, Steuerung und Regelung, Grasberg. *User's Guide to WORHP 1.0*, 2012.

Eidesstattliche Erklärung

Hiermit versichere ich an Eides statt, dass ich die vorliegende Arbeit selbständig verfasst und ausschließlich die angegebenen Quellen und Hilfsmittel verwendet habe.

Bremen, den 27. August 2012